

**Zeitschrift:** IABSE congress report = Rapport du congrès AIPC = IVBH  
Kongressbericht

**Band:** 5 (1956)

**Rubrik:** VIb. New developments

#### **Nutzungsbedingungen**

Die ETH-Bibliothek ist die Anbieterin der digitalisierten Zeitschriften auf E-Periodica. Sie besitzt keine Urheberrechte an den Zeitschriften und ist nicht verantwortlich für deren Inhalte. Die Rechte liegen in der Regel bei den Herausgebern beziehungsweise den externen Rechteinhabern. Das Veröffentlichen von Bildern in Print- und Online-Publikationen sowie auf Social Media-Kanälen oder Webseiten ist nur mit vorheriger Genehmigung der Rechteinhaber erlaubt. [Mehr erfahren](#)

#### **Conditions d'utilisation**

L'ETH Library est le fournisseur des revues numérisées. Elle ne détient aucun droit d'auteur sur les revues et n'est pas responsable de leur contenu. En règle générale, les droits sont détenus par les éditeurs ou les détenteurs de droits externes. La reproduction d'images dans des publications imprimées ou en ligne ainsi que sur des canaux de médias sociaux ou des sites web n'est autorisée qu'avec l'accord préalable des détenteurs des droits. [En savoir plus](#)

#### **Terms of use**

The ETH Library is the provider of the digitised journals. It does not own any copyrights to the journals and is not responsible for their content. The rights usually lie with the publishers or the external rights holders. Publishing images in print and online publications, as well as on social media channels or websites, is only permitted with the prior consent of the rights holders. [Find out more](#)

**Download PDF:** 11.08.2025

**ETH-Bibliothek Zürich, E-Periodica, <https://www.e-periodica.ch>**

## **VII b1**

### **Losses of cable force at prestressing**

### **Spannungverluste in den Kabeln bei der Vorspannung**

### **Perdas de tensão nos cabos de uma estrutura em betão preeforçado**

### **Pertes de tension dans les câbles d'un ouvrage en béton précontraint**

ALLAN BERGFELT  
*Chief Designing Engineer*  
*Port of Gothenburg Authority*

Gothenburg

One of the most important conditions for calculating prestressed concrete is to have a good knowledge of the different forces which are conveyed into the prestressing cable. To form an opinion of the future existence of the construction it is also necessary to know in which way the forces are going to change after some time.

The cable force at prestressing, checked on the jack or calculated through the extension of the cable is only very exceptionally constant along the length of the cable but changes because of losses of different nature. These losses can be divided as follows: jack losses, losses along the length of the cable, and losses when, and after anchoring the cable. A more accurate division is shown in table 1.

Losses  $c$ ,  $\mu$  and  $k$  are usually measured by pulling a cable with a jack at one end and checking the force transmitted to the other end. This can be also done by simultaneously measuring the force and the resulting extension of the cable at one end for one loading and unloading cycle. The result given by the first measurement is the total loss, while the second one gives a relation between the final force after losses have taken place and this force's distribution along the cable. These results give an approximate idea of the value of the area of force  $\times$  cable length. For the determination of the constants for the different losses, this method is scarcely suitable except for cables with comparatively sharp curves. A combination of the different methods will of course give the best results.

TABLE 1

## Losses of cable forces in prestressed concrete

Jack losses ... ... ... ... ... ... ...	$c = c_1 + c_2 + c_3$
Friction in the jack ... ... ... ... ...	$c_1$
Friction at the thread angle for attaching to jack. On the jack ... ... ... ...	$c_2$
Friction at the thread angle for attaching to jack. In the anchorage ... ... ...	$c_3$
Friction losses due to the cable's line shape...	$\mu$
Losses due to deformation of the cable tubes...	$k$
Friction caused by unintended wave shape	$k_1$
Adhesion in a compressed tube ... ... ...	$k_2$
Adhesion or increased friction due to leaking of concrete into the tube ... ...	$k_3$
Losses due to cable slip at anchoring ... ...	$\delta_1$
Losses after the anchoring... ... ... ...	$\Delta\sigma$
Creep in the cable steel ... ... ... ...	$\Delta_1\sigma$
Shrinkage and creeping of concrete ... ...	$\Delta_{2,3}\sigma$
Temporary variations such as changes in temperature and load ... ... ... ...	$\Delta_{4,5}\sigma$

*The theory of friction losses at cable curves.*

The calculation of friction losses is normally based upon the rope theory. In average structures, curve radii are large enough to justify complete disregard of the effect of the stiffness of prestressed reinforcement.

When a rope is pulled over a curve and bent with the contact angle  $\alpha$ , the traction  $Z$  is reduced owing to the friction between the rope and the slab (Fig. 1). The contact stress is  $p = \frac{Z}{r}$  for a radius  $r$ . If the friction coefficient is  $\mu$ , then the traction  $Z$  is reduced of  $dZ = \mu p r d\alpha$  along the length  $r d\alpha$ .

$$\begin{aligned} \therefore dZ &= \mu p r d\alpha = Z \cdot \mu \cdot d\alpha \\ \therefore Z &= Z_1 \cdot e^{-\mu x} \end{aligned} \quad (1)$$

if  $\alpha$  is measured from the end 1, where the force is  $Z_1$ .

The variation of length, due to the loading and subsequent unloading to O tension of a curved prestressing cable may be calculated, by means of a simple integration, with this well known formula.

When *loading* from O to  $P_0$  the extension is

$$\delta = \int_{0}^{\alpha} \frac{Z}{EA} \cdot r \cdot d\alpha_x = \frac{Pl}{EA} \cdot \frac{1 - e^{-\mu x}}{\mu x} = \frac{Pl}{EA} \cdot \left[ 1 - \frac{\mu x}{2} + \frac{(\mu x)^2}{6} - \dots \right] \quad (2)$$

where  $\alpha$  is the total angle variation,  $\alpha_x$  is the variation up to an arbitrary point and  $l = r \alpha$ . The final form of this expression is obtained by developping  $e^{-\mu x}$  in series.

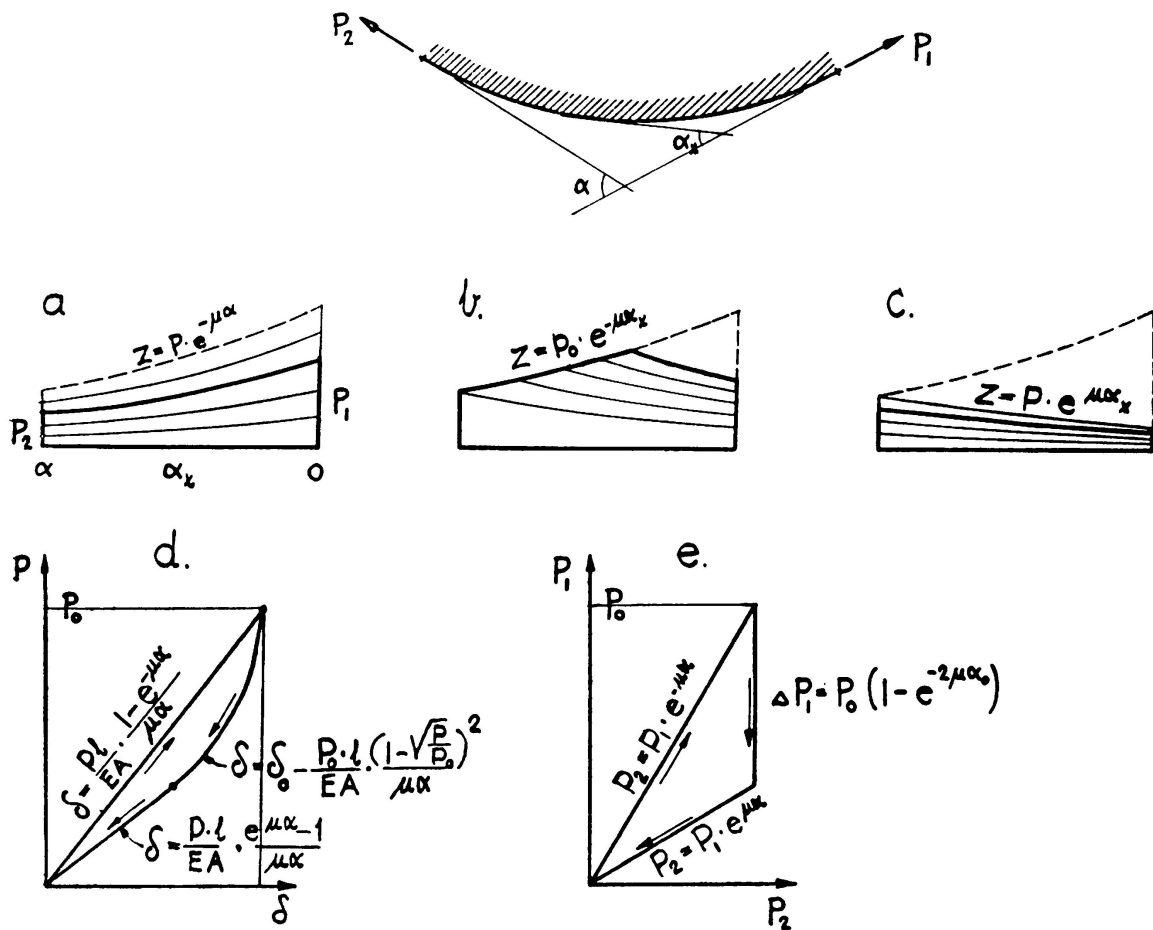


FIG. 1. The theory of friction losses at a cable curve. a) Variation of the cable stress along the length of contact. Rope friction. Increasing of the force  $P_1$  from O to  $P_0$ . b) Discharging from  $P_i$  to  $P_0 \cdot e^{-2\mu x}$ . c) Further discharging from  $P_0 \cdot e^{-2\mu x}$  to O. d) Relation between stress and strain at the end of the cable curve for one loading and unloading cycle. e) Relation between the force  $P_i$  applied at one end of the cable curve and the force  $P_2$  actuating at the other end, for one loading and unloading cycle.

When *unloading*, the theoretical sequence must be divided into two stages. The first one is when the force  $P$  is reduced from  $P_0$  to  $P_0 \cdot e^{-2\mu x}$ , under which the force at the fixed end will not be reduced. The second stage, is when the force  $P$  is reduced from  $P_0 \cdot e^{-2\mu x}$  to 0, the reduction at the fixed end being proportional.

Calling  $\delta_0$  the extension due to  $P_0$ , the residual extension after the first stage of the unloading is:

$$\delta = \delta_0 - \frac{P_1}{EA} \left( 1 - \sqrt{\frac{P_1}{P_0}} \right)^2 = \delta_0 - \Delta\delta \quad (3)$$

When changing over to the second unloading stage, i. e. when  $P = P_0 \cdot e^{-2\mu\alpha}$ , the negative term reaches its maximum value

$$\Delta\delta_\alpha = \delta_0 (1 - e^{-\mu\alpha}) \quad (4)$$

Along the second unloading stage, i. e. from  $P_0 \cdot e^{-2\mu\alpha}$  to 0, the residual extension is:

$$\delta = \frac{P_1}{EA} \cdot \frac{e^{\mu\alpha} - 1}{\mu\alpha} = \frac{P_1}{EA} \cdot \left[ 1 + \frac{\mu\alpha}{2} + \frac{(\mu\alpha)^2}{6} + \dots \right] \quad (5)$$

At the change-over point between the two unloading stages the  $\delta$  curves are tangent to each other and the residual extensions is  $\delta = \delta_0 \cdot e^{-\mu\alpha}$

It will be noted that, in all the formulae for  $\delta$ , either  $r$  or  $l = r \cdot \alpha$  are found, besides  $\alpha$ . From this it is seen that the variation of length cannot, as is the case for the friction loss, be independent of the curve's shape.

The above expressions giving a relation between  $P$  and  $\delta$  for one loading and unloading sequence are shown in Fig. 1-d; Fig. 1-e shows the relation between the external force  $P_1$  and the force  $P_2$  at the fixed end.

To illustrate the theoretical curves, results of earlier experiments [4] carried out during 1951 and 1952 according to a program drawn up by me, are also shown. This example has been chosen because the prestressing cable, in this case, is curved practically along its whole length and the shape, consequently, corresponds very nearly to the above mentioned theoretical curves.

Fig. 2 shows the dimensions and shape of the prestressing cable and its stress-strain diagram; its main interest lies in the fact that it also shows the measured results under symmetrical as well as one sided loading cycles. Under the measured curves are the corresponding theoretically calculated ones for different values of  $\mu$ . The likely value for  $\mu$  is, of course, the one which gives the best resemblance between the measured and calculated curves. The theoretical curves are calculated with a probable jack loss of 3 %, i. e.  $c = 0,97$ . Experiments made with the press in KTH's Laboratory for Building Statics, have shown losses as small as 1 % for new jacks and as high as 8 % for jacks that have been in use. Experiments at the site, extending two jacks against each other, have shown losses from 1 to 6 %. It follows that 3 % must probably be a reasonable average value.

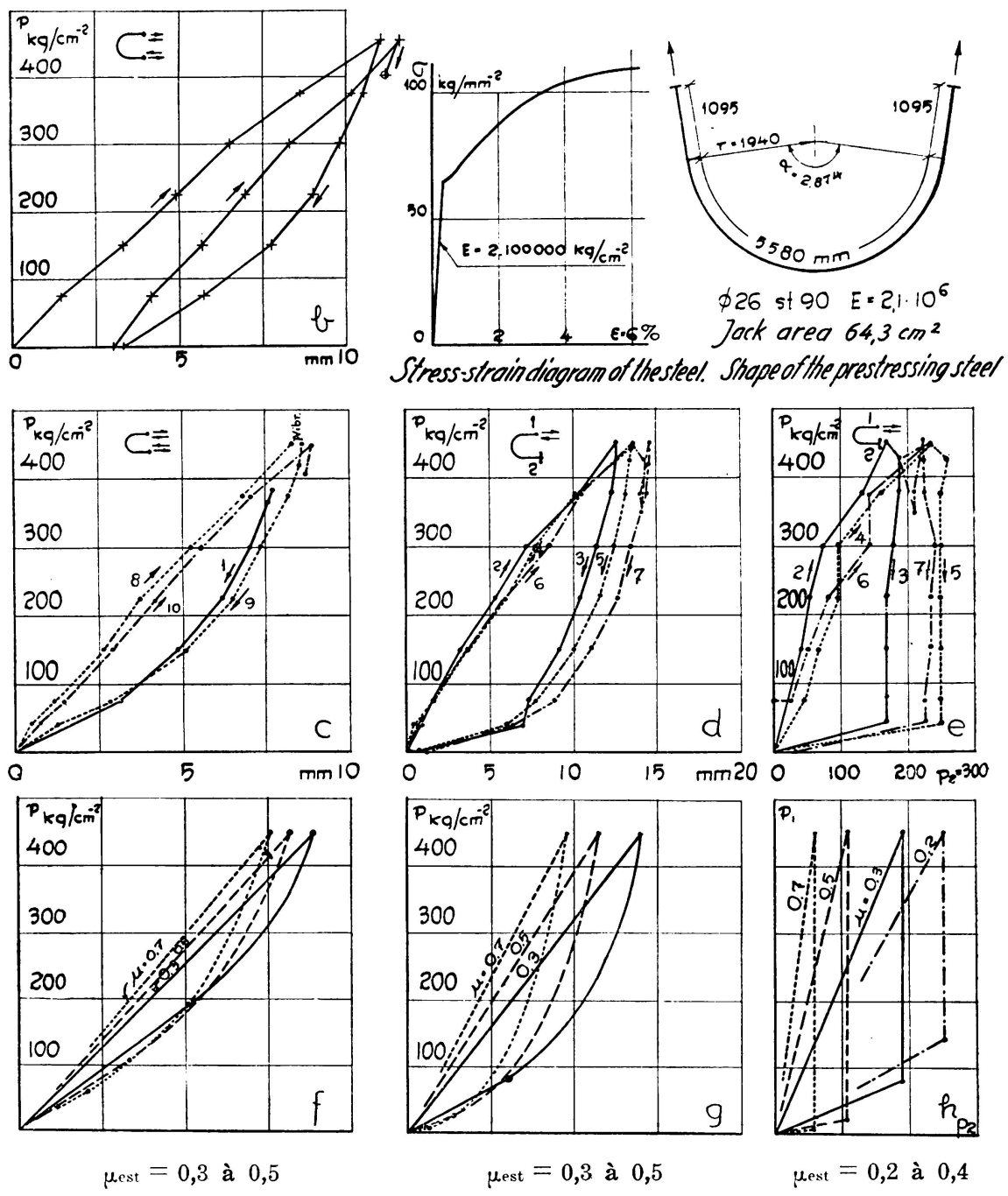


FIG. 2. Results of tests with prestressed bars of almost semicircular shape (the Fig. is from the article Ref. 4). b) P- $\delta$ -diagram at the first loading and subsequent unloading and reloading. Symmetrical tension from both ends. c) Repeated loading and unloading according to b. d) Repeated loading and unloading at tension from one end. e)  $P_1$ - $P_2$ -diagram corresponding to d. f, g, h) Theoretical curves corresponding to the measured c, d, e.  $\mu_{\text{est}}$  is estimated by comparison between the figures for various presumed  $\mu$  values.

Any loss  $k$  due to unintentional deformation of the cable tubes was in this case, not separately determined but related to  $\mu$ . The length being small and the steel in the tube stiff, the effect of  $k$  ought to be small.

It may be observed in Fig. 2 - b that the first loading gives a far greater extension than the later cycles. This can partly be explained by the fact that in this case, due to the small bending radius, the cable tubes are likely to buckle at the bend causing the formation of folds. When the cable is stretched these folds are pressed down and this deformation appears as an extension of the cable. To a certain extent it is, however, a real extension presumably owing to the fact that the cable at the bend has been loaded above the flow limit, and a levelling by sheer traction gives a greater stretching than normal. The curve corresponding to the first loading is consequently markedly set apart from the following cycles. These also show, however, considerable spreading, which indicates that the value of  $\mu$  is not wholly fixed. Any marked reduction of  $\mu$  as the number of loading cycles increases is hardly shown although such a reduction seems obvious.

*Experimental results observed during the construction of two bridges.*

In 1953 and 1954 two bridges were built for the Port of Gothenburg, over the Rosenlund canal, and a number of measurements were made to determine the prestressing losses and the deformations. Both bridges are freely-supported beam bridges and the main beams are prestressed according to Freyssinet's system, (see Fig. 3).

At the first bridge the measurements were made by determining the force and corresponding cable extension at one cable end only. The determination of the constants gave the results [4]  $\mu = 0,5$ ,  $c = 0,90$  and  $k = 65 \text{ kg/m}$  for 26 ton or  $k = 0,003^1/\text{m}$ , which  $k$  corresponds to an imagined change of direction of  $1/2^\circ$  per m. Judging among other things, from the shape of the prestressing bars selected for the investigation and from the spreading of the test results, it seems that the sharing of the losses amongst those represented by  $c$  and by  $k$  is not very accurate.

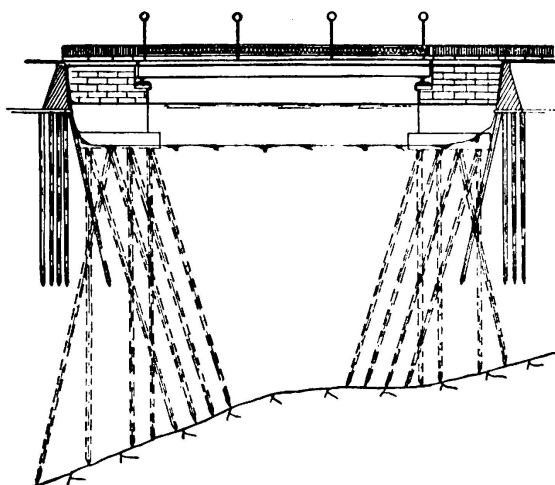


FIG. 3. Bridge over Rosenlund canal, Gothenburg. Span 18,5 m.

tting so that the resulting measurements should allow a separate determination of the different influences. The measurements were, again, carried out so as to include also the determination of the force at the fixed cable end.

Fig. 1 shows the variation curve of the force along a continuous cable bend for a loading and unloading cycle. The shape of the interesting cables in the bridge is, however, the one shown in Fig. 4. By combination

During the tests carried out in 1954 in connection with the construction of the other twin bridge, the steel cables were therefore especially selected for

of curve parts similar to those of Fig. 1, it is possible to obtain the curves of Fig. 4.

*Jack losses.*

Jack losses are measured from the extension of a free cable pulled at both ends through anchor blocks. This system simultaneously allows a control of the modulus of elasticity E.

The jack loss for a Freyssinet-jack is composed of an internal loss due to the relative movements of its different parts and of losses due

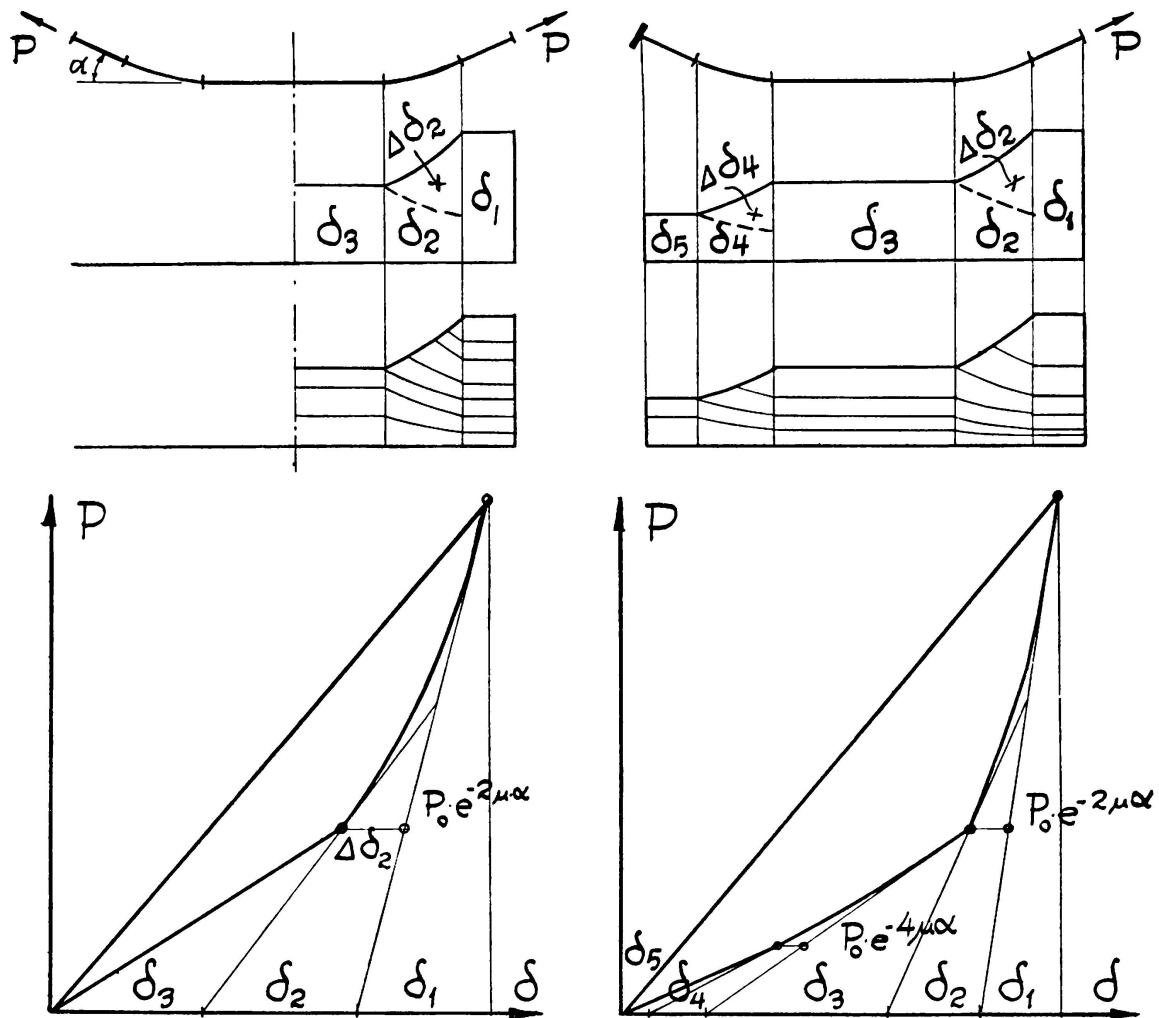
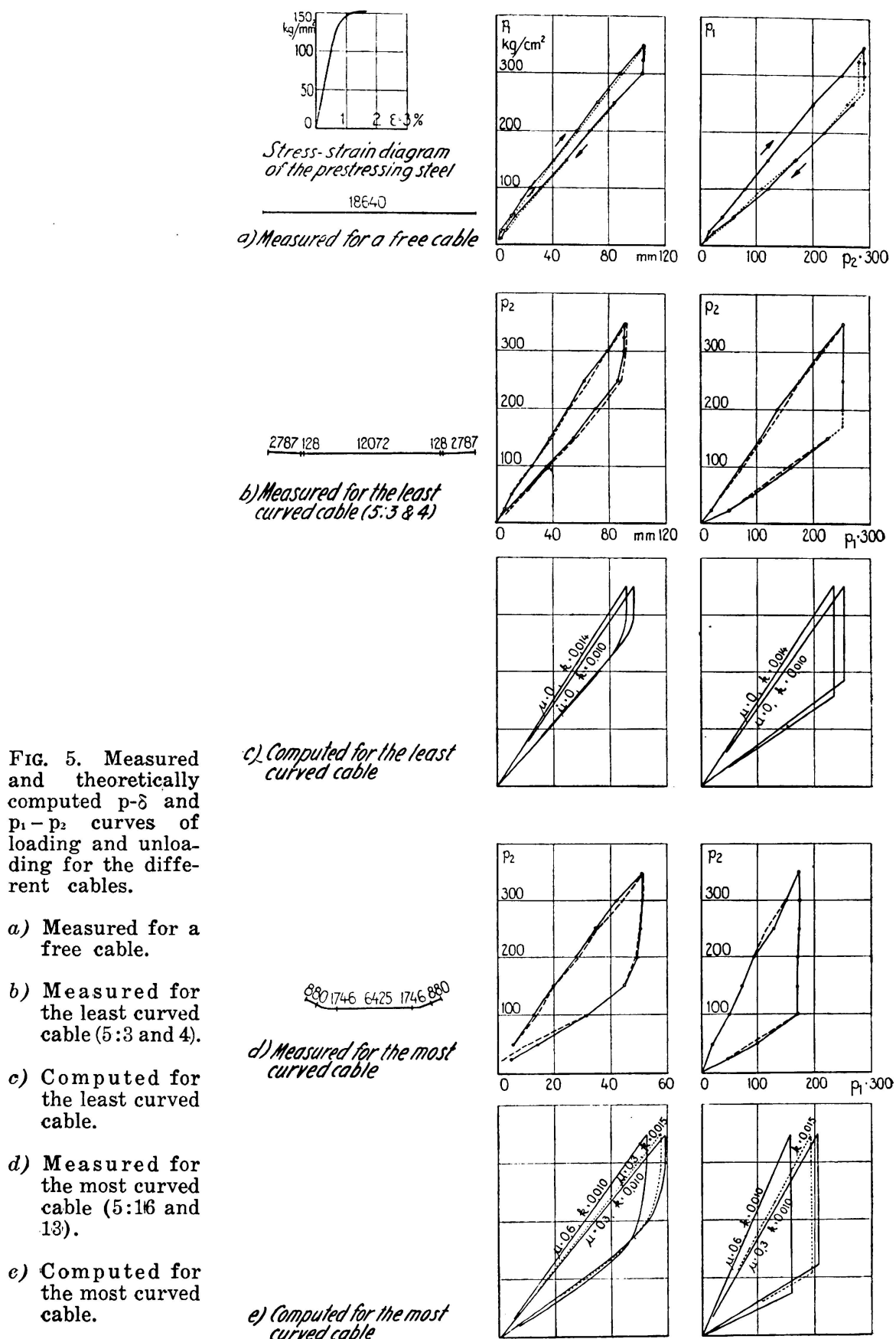


FIG. 4. Curves corresponding to fig. 1 d for cables with straight middle parts.

to the bending of the threads, both at the jack and at the re-bending in the anchor block. Fig. 4 (right) may also show the stretching of a free cable, if it is assumed that the total jack losses are represented by one cable bend.

Fig. 5 - a shows measurement curves for two loading and unloading cycles, jack 1 being the only one operating. Similar curves are obtained



for jack 2. The cables consist of 12 ø 5,0 mm and the jack's piston area is 81,07 cm<sup>2</sup>.

The curves show fairly regular readings. For  $p_1 = 350$  at the measured values for both experiments is  $p_2 = 290$  at, the jack loss in both cases should therefore be  $\sqrt{290:350} = 0,910$  or 9,0 %. When unloading, the value of  $p_2$  changes first when  $p_1$  is reduced respectively to 272 and 275, and the corresponding losses are  $\sqrt{272:290} = 0,968$  and  $\sqrt{275:280} = 0,991$ . More satisfactory values of  $\sqrt[4]{272:350} = 0,939$  and  $\sqrt[4]{275:350} = 0,941$ , are reached if the total jack force, necessary to change the force at the fixed end, is considered for the calculation. The following values are obtained from the diagram corresponding to jack 2,

loading:	$\sqrt{310:350} = 0,942$	5,8 %
	$\sqrt{305:350} = 0,933$	6,7 %
unloading:	$\sqrt{270:310} = 0,933$	6,7 %
	$\sqrt[4]{262:305} = 0,927$	7,3 %
total:	$\sqrt[4]{270:350} = 0,935$	6,5 %
	$\sqrt{262:750} = 0,930$	7,0 %

If all the 12 values are used in order to calculate the average value and mean error, the loss is

$$1 - c = 6,2 \% \pm 0,6 \%$$

Losses can also be determined from the extension diagram shown in Fig. 5. The vertical drop between both curves represents very accurately the double jack loss, as the extension depends mainly on the extension of the straight part of the cable.

The correction, which depends on the camber of the unloading curve, is slight as the camber is only a function of the extension of the jack sections represented in Fig. 4 by  $\delta_1 + \delta_2$  and  $\delta_4 + \delta_5$ . The greatest of these values, i. e.  $\delta_1 + \delta_2$  is only about

$$0,96 \cdot 350 \cdot 81,07 \cdot \frac{665}{2,1 \cdot 10^6 \cdot 2,35} = 3,85 \text{ mm},$$

while the extension of the straight part corresponding to  $\delta_3$  is approximately 100 mm.

The values obtained are

$$\begin{aligned} c &= \sqrt{304:350} = 0,933 & 6,7 \% \\ &\sqrt{305:350} = 0,935 & 6,5 \% \end{aligned}$$

The values obtained from the diagram corresponding to jack 2 are:

$$\begin{aligned} c &= \sqrt{293:350} = 0,916 & 8,4 \% \\ &\sqrt{298:350} = 0,923 & 7,7 \% \end{aligned}$$

The resulting mean value is 7,3 %, which is fairly larger than the one obtained from the proportion between the forces. In the subsequent calculations the assumed likely value is 7,0 %.

A control of E gives in the first experiment

$$E = \frac{P_1}{\delta A} = \frac{0,93 \cdot 81,07 \cdot 350 \cdot 1864,0}{(10,8 - 0,735) \cdot 2,35} = 2\ 070\ 000 \text{ kg/cm}^2$$

and the corresponding average value is  $E = 2,05 \cdot 10^6$ .

***Friction losses owing to unintended wave-shaped cable tubes.***

The loss along the cable is assumed to be  $e^{-(\mu\alpha + kx)}$ , where the exponent's first term is the normal loss due to friction in the curves of the cable. The other term is assumed to depend on the fact that the reinforcement is involuntarily wave-shaped while being erected. The stays cannot be made very tight and, while vibrating the concrete for instance, the cables may happen to be further displaced. k is calculated here as a constant along the length of the cable x. k could be assumed to be smaller in the bends, where the stays are usually tighter; however, the risk of leakage is perhaps somewhat greater in curves and k in that case ought to be larger.

Experiments have been carried out with the least bent cable for two loading and unloading cycles with  $p_1$  in operation; similar experiments have also been carried out with  $p_2$  in operation. Fig. 5 - b shows two average cycles.

The diagram  $p_1 - p_2$  gives the proportion between these forces when loading and unloading as well as the drop corresponding to the change of loading. By comparing Fig. 1 with Fig. 4 it appears that the proportion is  $c^2 \cdot e^{-2\mu\alpha} \cdot e^{-kl}$  and the drop the square of this expression. Introducing the different points of the diagram the result will be: loading  $\sqrt{242:350} = 0,720$ ; unloading  $\sqrt{168:250} = 0,672$ ; and from the drop  $\sqrt{168:350} = 0,693$ .

A combination of the results also taken from the other experiments gives the following values:

loading	unloading	drop
0,685 0,657	0,768	0,707
0,720 0,720	0,672 0,672	0,693 0,693
0,700 0,685	0,833 0,833	0,755 0,755

If all values are given the same weight, the mean value is  $0,723 \pm 0,012$ .

If the values of the known magnitudes are  $c = 0,93$ ,  $\alpha = 1^\circ 50' = 0,032$  radius, and  $l = 17,9$  m, and if  $\mu$  is assumed to have probable

limit values, then, for  $\mu = 0$ , the value  $k = 0,010$  and for  $\mu = 0,6$  the value  $k = 0,008$ . The influence of  $\mu$  in this almost straight cable is thus relatively small and it may be assumed that the likely value of the losses due to the cable's wave shape is

$$k = 0,009 \text{ } 1/\text{m}$$

The theoretical curves in Fig. 5 - c, also show that a value of about  $k = 0,01$  is in agreement with the  $p - \delta$  curves.

**Friction losses owing to the curves of the cable.**

For the most bent cable where the factor  $e^{-\mu\alpha}$  dominates, measurements have been carried out, similar to those already described for the least bent one. Two average cycles are shown in Fig. 5-d.

A combination of all the values of  $p_1/p_2$  as given by the diagram of  $p_1 - p_2$  gives the following results:

loading	unloading	drop
0,528	(0,308)	(0,378)
0,528	0,572	0,534
0,494	0,588	0,534
0,500	0,588	0,534
0,528	0,572	0,534
0,542	0,572	0,534

If both values within brackets are excluded, the average value is  $0,542 \pm 0,007$ . This corresponds to  $c^2 \cdot e^{-2\mu\alpha} \cdot e^{-kl}$ ; introducing  $c = 0,93$ ,  $\alpha = 25^\circ = 0,436$  radius,  $k = 0,009$ , and  $l = 11,677$  m in the expression, a value  $\mu = 0,415$  is obtained.

The theoretical curves in Fig. 5-e also show that the pair of values  $k = 0,010$ ,  $\mu = 0,40$  to  $0,45$  are in agreement with the  $p - \delta$  curves. It should be noted that for instance  $k = 0,020$ ,  $\mu = 0,35$  would also be satisfactory but would not suit the straightest cable where even for  $\mu = 0$ , it would be hardly possible to assume a value higher than  $k = 0,015$ .

Regarding the calculation of the friction losses, it should be noted that the  $p_1 - p_2$  diagrams give the total force loss. Calculations based on the rope equation give, in this case, very satisfactory values for different angles. The shape of the  $p - \delta$  diagrams give a certain amount of control as to whether or not the distribution along the length of the cable really follows the rope equation. The correspondence of the shapes of the measured curves and the theoretically calculated ones is quite satisfactory. Both experiments described above—one with Dywidag-steel as shown on Fig. 2 and one with Freyssinet-cables as shown on Fig. 5—give, however, measured diagrams somewhat more «full»

than the calculated ones. The fact that  $\mu$  at unloading is larger than under normal conditions as long as the load is high possibly explains this difference. For a smaller load, the  $p_1 - p_2$  diagrams show that the value of  $\mu$  is normal. It may not be entirely impossible to imagine that the particles, pressed hard against the cable tubes, are directed in the direction of the stress. The friction would then have to be quite large to make them return to their original position as long as stress pressure was high.

**Cable slip at the anchoring.**

When the jack is released and the cable force is transferred to the anchoring, there is a certain slipping of the cable in relation to the anchor block. This will cause a certain reduction of the force in the cable but, as can be seen from Fig. 1 and 4, this generally occurs only

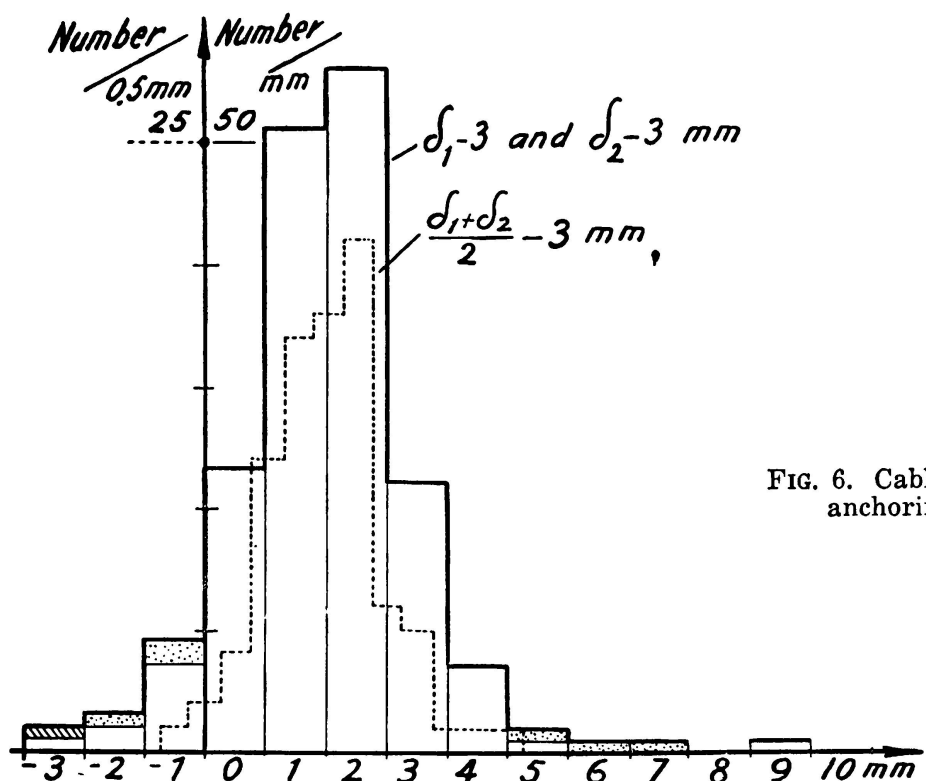


FIG. 6. Cable slip at anchorings.

at the ends. It is however possible, due to the injections for instance, for a certain adjustment of the different forces to occur.

The lock slipping being rather small, as is shown below, its effect is only noticeable in very short cables.

The lock slipping at both ends was measured in both bridges for each one of the 180 cables. The results of these 360 measurements are shown in Fig. 6. In this case the displacement of a point on the cable at a distance of 60 cm from the external surface of the concrete was

measured and reduced by 3 mm corresponding to a shortening of 3,0 to 3,5 mm of the projecting cable end while unloading.

Some results seem to indicate a negative lock slipping. If, however, it is remarked that, in some of the cases, the sliding at the other end of the cable is unusually large, it is obvious that a certain movement of the cable over to one side has taken place. Such pairs of values are marked with dotted areas in the diagram. To eliminate the influence of such effects, the mean value of the readings at both ends of each cable was considered. The corresponding results have been indicated in Fig. 6 with a dotted line. It may be seen that the lock slip is usually 1 or 2 mm. Only in a few cases does this value raise above 3 mm. The mean value is approximately  $\delta_1 = 1,5$  mm or probably even less if it is considered that the extension of the projecting cable is in some cases as high as 3,5 mm, while for the diagram it is assumed to be 3,0 mm.

#### ***Measurement of permanent set.***

There is a further alteration of the force in the cable after the anchoring has been carried out, which is principally due to the shrinkage and creep (plastic flow) of the concrete. This is the reason why it is necessary to use relatively high tensile steel with high stresses in order to have sufficient effective stress left, even after the permanent set of the concrete has taken place.

In order to check these losses, the variation of length and bending of the bridge were measured. The measuring began at the same time as the bridge was being prestressed and the resulting diagrams in Fig. 7, show how closely the upward bending follows the stretching of the cables. After a few months, part of the permanent set has already taken place. The diagram also shows that the measured values depend, to some extent upon air temperature changes and upon rain, both of which in combination can give rapid cooling.

Only the main lines of the calculation principle of these deformations are given here. From these deformations it is then possible to deduce the prestressing losses. Secondary influences such as the reduction of the creep due to the decrease of stress in the steel or the influence of the reinforcement upon the shrinkage, are not treated.

#### ***Shrinkage and creeping of the concrete.***

I have chosen to base the following calculation of the shrinkage and creep of the concrete upon the calculations I had the pleasure of carrying out for I. Häggblom as a complement to his description [5], at the Congress in 1948, of the large concrete arch of Sandö-bridge in Sweden. At the time the transformation of the results obtained from testing upon concrete prisms in the laboratory to the actual arch with its box section of concrete slabs, was undertaken following an idea brought forward in an article by R. W. Carlson [6]. In it he points out the possibility of using an equation corresponding to the heat equation

in order to judge time effect upon shrinkage of concrete objects of different size and form.

The same equation is also valid for electric fields and diffusion of gases; Terzaghi and Fröhlich [7, 8] for instance have also used it for the

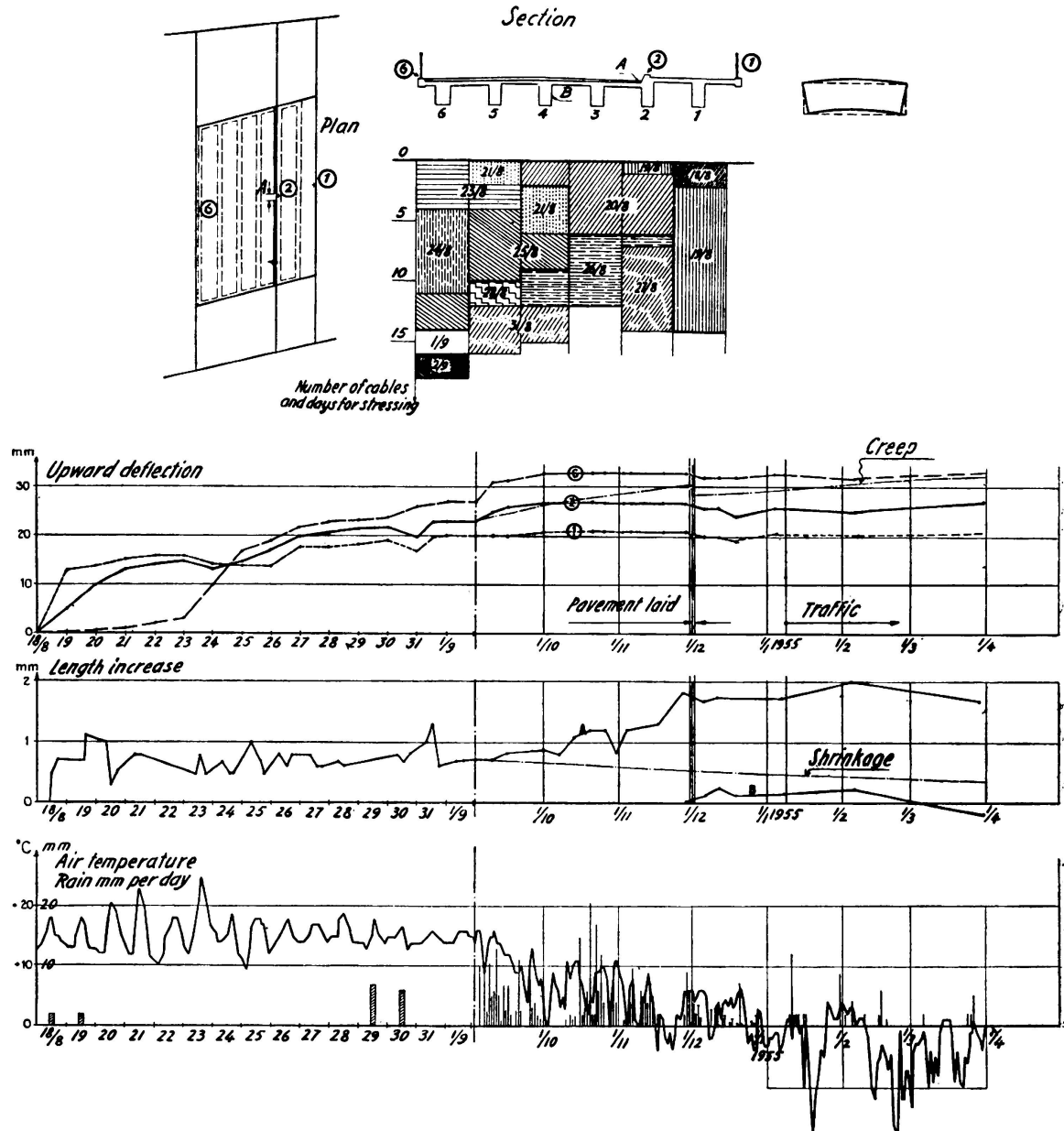


FIG. 7. Days for prestressing of the cables. Deformation - time diagram.

calculation of void water streaming in clay and for the subsequent calculation of the corresponding settling. Because of the strong resemblance existing between that problem and the one treated herewith, the equation is taken in the form given by those authors for parallel plane clay layers.

$$\frac{k}{v \gamma} \cdot \frac{\partial^2 w}{\partial z^2} = \frac{\partial w}{\partial t} \quad (6)$$

Here,  $w$  is the hydrostatic overpressure at a point with coordinate  $Z$ , at the time  $t$ .  $k$  is the water perviousness,  $v$  is the specific void water loss, and  $\gamma$  is the volume weight.

For three-dimensional problems,  $\frac{\partial^2 w}{\partial z^2}$  has to be changed for the differential parameter of Laplace,  $\Delta^2 w$ .

The equation is dealt with in detail in different treatises [9, 10] on heat, and reference is only made here to the simple solution valid for hydrostatic pressure which is sinus-shaped at time  $t_0 = 0$ . After time  $t$  has elapsed, it has been uniformly diminished by means of the multiplier  $e^{-\beta T}$ , where  $\beta$  is a constant and  $T = at/d^2$  (7)

in which  $d$  is the thickness of the layer and  $a = \frac{k}{v\gamma}$ . Using the same symbol  $\mu$  for the time function of settlement, as in the above-mentioned paper [5], one has  $\mu = 1 - e^{-\beta T}$ .

If the original hydrostatic pressure has a form other than the simple sinus-shape, it can, for instance, be expressed by means of Fourier series, and the solution can be written in a generalized form:

$$\mu = 1 - \sum A_n \cdot e^{-\beta_n \cdot T} \quad (8)$$

If instead of a slab one has a long prism, this could then be mathematically treated as being composed of two slabs, one for each direction and, in the case of a square prism the solution is

$$\mu_{pr} = 1 - (\sum A_n \cdot e^{-\beta_n \cdot T})^2 \quad (9)$$

The curves for shrinkage  $K$  and creep  $f$ , which were measured for the prisms at Sandö and are intended to be used here as it is plausible that the concrete is similar, are given in Fig. 13 of the above-mentioned article [5]. They are easy to express approximately, by means of equation (9):

$$\mu_K = 1 - e^{-8\beta T}, \quad \mu_f = 1 - \frac{2}{3} \cdot e^{-\beta T} - \frac{1}{3} \cdot e^{-32\beta T} \quad (10, 11)$$

With  $t$  in years,  $h$  in cm and, if  $a$  is a constant for the concrete used, then constant  $\beta \cdot a = 138 \text{ cm}^2/\text{year}$ .

This expression is easily made valid for the case of a slab by means of the relation between equations (9) and (8):

$$\mu_K^s = 1 - e^{-4\beta T}, \quad \mu_f^s \approx 1 - \frac{4}{5} \cdot e^{-\beta/2 \cdot T} - \frac{1}{5} \cdot e^{-32\beta T} \quad (10-a, 11-a)$$

From this and assuming the shrinkage to be

$$K = \frac{100-R}{100} \cdot k \cdot \mu_K, \text{ and the creep to be } f = \sigma \cdot F \cdot \mu_i \quad (12, 13)$$

where  $R$  = relative humidity,  $k = 0.88 \cdot 10^{-3}$ ,  $\sigma$  = stressss in  $\text{kg}/\text{cm}^2$  and  $F = 0.94 \cdot 10^{-5}$ , the sinking the aforesaid bridge crown was calculated. In the the above-mentioned paper [5] it was seen that calculated and measured sinking were almost exactly the same, 17 cm, 5 years after the crown was built. This corresponds to a theoretical sinking of 28 cm counted from the time, some months earlier, when the watering was ceased and the load brought on. After another 5 years the measured value was 19 cm and the corresponding calculated value was 20 cm. The difference is relatively still less when the theoretical total values 30 and 31 cm are compared. It may also be seen that the values are high up in an extrapolated, and thus very uncertain, part of the  $\mu^{pr}$ -curve.

This extremely good agreement is probably due to a great extent, to the fact that, in this case proof-objects and actual construction have rather similar cross dimensions and about the same load and variation of relative humidity. For more than 20 years it has been pointed out [11] that shrinkage and creep should not be calculated totally independently; this is possibly connected with the very curved shape of the elasticity curve of concrete. It has also been pointed out by G. Pickett [12], that surface resistance should not be neglected in diffusion or heat equations. The above deduction, where no surface resistance has been taken into account, corresponds to a Pickett's factor  $B = \infty$ . As a matter of fact,  $B = 2$  should give a little better agreement if the «diffusion constant» is similarly altered. The difference is, however, extremely slight and it seems possible to choose any value  $B$  as long as the other constant is equivalently adopted. It therefore, seems necessary to take  $B$  into account only when comparing tests of various dimensions and loadings.

In the case of the Pustervik bridge, the simplified equations (12) and (13), with time functions (10-a) and (11-a), are applied independently of each other for the calculation of camber and length variation.

The time function must be altered for application to bending. In this case, the parts nearest to the surface must, of course, play a most significant part and the creep function for a bended slab will be rather similar to the one for a prism with centric pressure. An estimated curve for the upward bending due to creep where the irregular shape of the slab and the beam were considered, is drawn on Fig. 7 as a thin line.

The length variation at point A due to creep, is composed of compression with its  $\mu_i$ , and of bending with its faster increasing  $\mu_{fb}$ ; the shrinkage is to be added to both of these. In Fig. 7 only the shrinkage is drawn as a thin line merely in order to give an idea of its magnitude.

It may be seen that there is not as yet good agreement between these uncorrected calculated values and the measurings. The most important influence to be added is presumably the creep of the steel.

***Temperature variations.***

Temperature variations also have a great influence upon the measurements, in spite of the fact that most of the length variations due to temperature are eliminated by measuring with a steel bar placed under the paving, directly upon the concrete surface. The temperature differences ought therefore to be small and the length variations ought not to differ greatly.

In order to give at least a qualitative picture of the conditions for day and night variation of temperature, some diagrams are included, even though they are primarily established for concrete cisterns and dams where the temperature changes are rather large on one side and small on the other. They are, however, also valid for relative conditions between surface and centre of a rather thick concrete construction or, as in this case, for a bridge deck the upper surface of which is exposed to sun and rain, whilst the conditions underneath are more constant.

Fig. 8 shows the temperature conditions in a concrete wall, one surface of which is exposed to a sinus-shaped temperature change with the amplitude  $\vartheta_{10}$  and the period  $T$ . For an infinitely thick wall the solution [9] is

$$\vartheta = \vartheta_{10} \cdot e^{-kx} \left( \cos \frac{2\pi t}{T} - kx \right), \quad k = \sqrt{\frac{\pi}{aT}} \quad (14)$$

Here the temperature conductive power  $a$  is  $2 \cdot 10^{-3}$  to  $3,5 \cdot 10^{-3}$  for concrete. In Fig. 8, conditions corresponding to a wall with a thickness  $d$  such that  $kd = 4$  are shown; for day and night variation this corresponds to a 0,5 to 0,6 m thick wall, which is enough for agreement with the above formula.

M. Ritter [13] has given a solution for the case of a wall with a smaller thickness and under the condition that it is the temperature of the surroundings which varies. From this I have calculated the diagrams in Fig. 9 and 10. They show length variations and bending of a slab for sinus-variations of temperature; they also show how the amplitude on the concrete surface is less than that of the surrounding air.

For the actual Pustervik-bridge, no detailed calculations have yet been concluded; it has nevertheless been noticed that the day and night movements, as measured and drawn in Fig. 7, agree in principle with what was to be expected from temperature variations and rain showers.

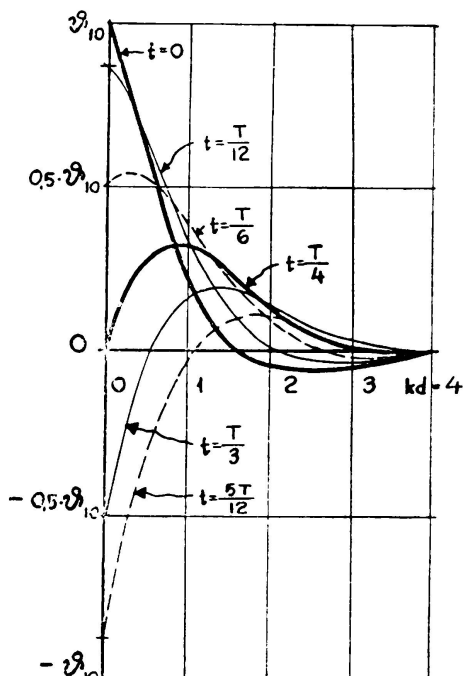


FIG. 8. Temperature conditions for variable surface temperature.

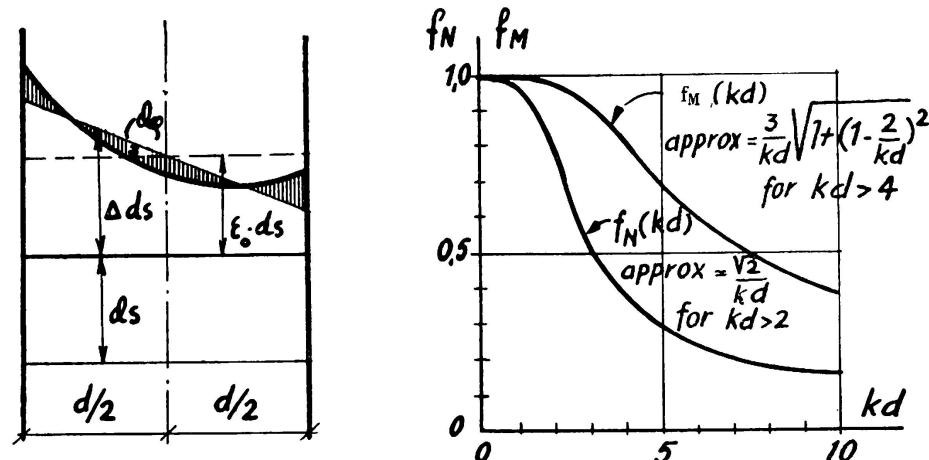


FIG. 9. Length variation and bending of a slab for variable surface temperature. Max. value of the mean temperature  $\mathcal{V}_{mo} = \frac{\mathcal{V}_{10} + \mathcal{V}_{20}}{2}$ .  $f_M(kd)$

$$\text{Max. value of the bending } \left( \frac{d\varphi}{ds} \right) = \frac{\mathcal{V}_{10} - \mathcal{V}_{20}}{d} \cdot w \cdot f_M(kd)$$

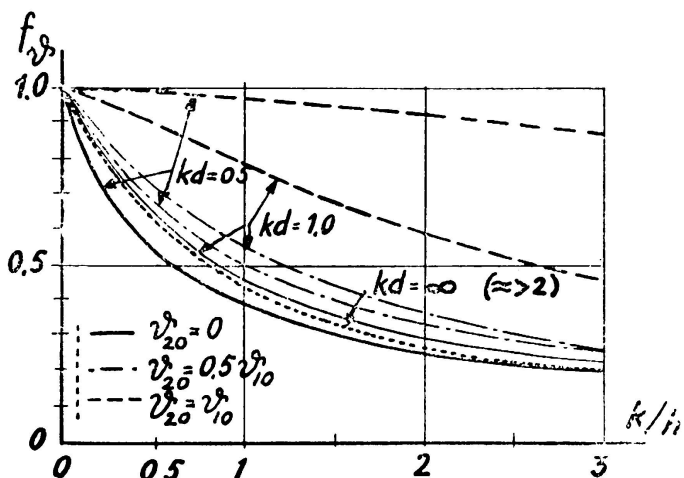


FIG. 10. Amplitude of the surface temperature  $\mathcal{V}_{10}$  if the amplitude of the surrounding air is  $\mathcal{V}_{ao}$

$$\begin{aligned} \mathcal{V}_{10} &= \mathcal{V}_{ao} \cdot f_v \quad \text{Here } f_v = \\ &= f_v \left( \frac{k}{h}, kd, \frac{\mathcal{V}_{20}}{\mathcal{V}_{10}} \right) \text{ where } h = \frac{\alpha}{\lambda} \\ &\text{and } \alpha = 3 \text{ at calm, } = 10 \text{ for gentle wind and } = 500 \text{ for rain and storm.} \end{aligned}$$

## BIBLIOGRAPHY

1. GUYON, Y. — *Béton précontraint*. Paris, 1951.
2. LEONHARDT, F. & MÖNNING, E. — *Reibung von Vorspannplatten für Spannbeton-Beton- und Stahlbetonbau*. 1952 H. 2.
3. COOLEY, E. H. — *Research report n° 1*, Cement and Concrete Association. London, 1953.
4. BERGFELT, A. — *Friction and jack losses in prestressed concrete* — Betong, 1954 — N° 1. Stockholm, 1954. (In Swedish, with an English summary).
5. HÄGGBOM, I. — *The bridges at Sandö*. Publication préliminaire. AIPC Troisième Congrès — Liège, 1948 — page 381 (Fig. 13, 14), page 390.
6. CARLSON, R. W. — *Drying shrinkage of large concrete members*. Journal of American Concrete Institute. Jan.-Febr. 1937, page 327.
7. TERZAGHI, K. & FRÖHLICH, O. K. — *Theorie der Setzung von Tonschichten*. Leipzig & Wien, 1936.

8. FRÖHLICH, O. K. — *Über die angenäherte Berechnung des zeitlichen Verlaufes der Porenwasserströmung in belasteten Tonkörpern und der damit verbundenen Formänderungen.* Mémoires AIPC 1937-38, page 133.
9. GRÖBER, H. — *Die Grundgesetze der Wärmeleitung und des Wärmeüberganges.* Berlin, 1921.
10. CARSLAW — *The Mathematical Theory of the Conduction of Heat in Solids.* London, 1921.
11. VOGT, F. — *The effect of shrinkage on the deformation of concrete under sustained loads.* Det Kgl. Norske Videnskab. Selskabs skrifter, 1947, n° 1. Trondheim 1949.
12. PICKETT, G. — *Shrinkage stresses in concrete.* Journal of American Concrete Institute. Jan.-Febr. 1946, pages 165-361.
13. RITTER, M. — *Temperaturverlauf und Wärmespannungen in Mauern bei oscillierenden Außentemperaturen.* Mémoires AIPC, vol. 7, 1943-44, page 293.

### S U M M A R Y

Prestressing force losses have been calculated and measured for two prestressed concrete bridges in Gothenburg. The bridges were built according to the Freyssinet system. The measurements were carried out according to two methods:

- By applying a force with a jack at one end of the cable and measuring the force transmitted to the other end.
- By measuring both the force and corresponding extension at one end only, the other end being fixed.

The latter is particularly satisfactory for very curved cables and is applied when only one end is accessible. The combination of both these methods gives a certain control of the distribution of the prestressing force along the cable.

Results of these measurements showed jack losses to be of 6,5 to 7 %, which corresponds to  $c = 0,93$ . This not only includes jack losses proper, but also stretching losses at the bending of the threads, both at the jack and in the anchor block.

The friction loss in the cable curves corresponds to  $\mu = 0,42$  in the expression  $e^{-\mu x}$ .

The friction losses owing to unintended wave-shaped cable tubes correspond to  $k = 0,009$  in the expression  $e^{-kx}$  where "x" is the measured length of the cable, in meters.

A previous measurement [4] had given approximately the same or a little higher  $\mu$  but a different ratio between "c" and "k".

The slip at anchoring was approximately 1,5 mm and exceeded only very occasionally 3,0 mm.

Measurement of permanent set is being carried on for the purpose of checking the calculation of the corresponding losses of prestressing force. Some basic equations for shrinkage and creep are given. The measurements for the hitherto rather short period of time show little agreement, but this probably is due, partly to certain subsidiary influences such as the irregular shape of the bridge and to the reinforcement, and mainly to the influence of the creeping of the prestressed steel.

### ZUSAMMENFASSUNG

Zwei nach dem System Freyssinet vorgespannte Betonbrücken in Göteborg dienten zur Untersuchung der Spannungsverluste. Die Durchführung der beiden Messungen erfolgte teils nach dem üblichen Verfahren, indem eine Kraft mit Hilfe einer Spannvorrichtung am einen Kabelende zur Wirkung gebracht und die übertragene Kraft am andern Ende bestimmt wurde, im andern Fall indem die Spannung und die entsprechende Dehnung nur an einem Ende unter Festhaltung des andern Endes gemessen wurde. Die letztere Methode ist besonders für stark gekrümmte Kabel angebracht und praktisch unumgänglich, wenn nur ein Ende erfasst werden soll. Bei der Kombination beider Verfahren kann die Spannungsverteilung längs des Kabels kontrolliert werden.

Aus den Untersuchungen ergab sich ein Spannpressenverlust von 6,5 bis 7 %, entsprechend einem c-Wert von 0,93. Dieser Verlust umfasst den eigentlichen innern Pressenverlust neben den Streck-Verlusten beim Umbiegen der Drähte am Spannschloss und im Verankerungsblock.

Der Reibungsverlust in den gekrümmten Kabeln entspricht einem  $\mu$ -Werte von 0,42 für den Ausdruck  $e^{-\mu x}$ .

Die Reibungsverluste infolge unbeabsichtigter, unregelmässiger Form der Kabelrohre entsprechen einem k - Wert von 0,009 für den Ausdruck  $e^{-kx}$  wobei "x" die Kabellänge in m, der Kurve nach gemessen, bedeutet.

Eine frühere Messung [4] ergab angenähert gleiche oder etwas höhere  $\mu$ -Werte, aber eine andere Proportion "c:k".

Die Verschiebung bei der Verankerung betrug angenähert 1,5 mm und schlug nur gelengentlich bis zu 3 mm aus.

Die Messungen der bleibenden Formänderungen werden weitergeführt mit dem Zweck, die Berechnung der entsprechenden Verluste bei der Vorspannung nachzuprüfen. Einige Grundgleichungen für das Schrumpfen und das Kriechen liegen vor. Die Messungen während der bisherigen kurzen Zeitspanne stimmen mit den Berechnungen schlecht überein; der Grund ist wahrscheinlich bei den Nebeneinflüssen zu suchen, z. B. bei der unregelmässigen Form der Brücke und der Bewehrung, besonders aber beim Einfluss des Kriechens im vorgespannten Stahl.

### R E S U M O

Mediram-se e calcularam-se as perdas de tensão em duas pontes de betão preesforçado situadas em Gotemburgo. Estas duas obras tinham sido executadas de acordo com sistema Freyssinet.

As medições foram efectuadas por dois métodos diferentes:

- Esticando os cabos com um macaco num dos extremos e medindo a tensão transmitida ao outro.
- Fixando um dos extremos e medindo no outro a força exercida e a extensão resultante.

Este último método dá resultados satisfatórios especialmente no caso de cabos fortemente encurvados e também se emprega quando só uma das extremidades é acessível. A combinação destes dois métodos permite controlar a distribuição da tensão ao longo do cabo.

Os resultados destas medições mostram que as perdas de tensão nos macacos são da ordem de 6,5 a 7 % o que corresponde a  $c = 0,93$ . Este valor comprehende, além das perdas devidas aos próprios macacos, as que são causadas pela encurvadura dos cabos no macaco e no cunho de amarração.

As perdas por fricção, devidas à encurvadura do cabo, correspondem a  $\mu = 0,42$  na expressão  $e^{-\mu x}$ ,

As perdas por fricção, devidas a uma forma ondulada accidental do tubo de protecção do cabo, correspondem a  $k = 0,009$  na expressão  $e^{-kx}$  em que "x" é o comprimento do cabo expresso em metros. Em medições anteriores [4] tinham-se obtido, para  $\mu$ , valores semelhantes ou ligeiramente superiores; no entanto, a relação entre "c" e "k" era diferente.

O escorregamento nas amarrações era de cerca de 1,5 mm e só raramente ultrapassou 3 mm.

Estão actualmente em curso medições das deformações permanentes que se destinam a verificar as perdas de tensão correspondentes.

O relatório inclui igualmente, algumas equações de base relativas à contracção e à fluência.

Os resultados das medições efectuadas durante o espaço de tempo relativamente curto que medeia desde que as pontes foram postas em tensão não correspondem exactamente aos valores dados pelos cálculos, o que pode talvez ser atribuído em parte a certos factores secundários tais como a forma irregular da ponte, a armadura e principalmente à fluência do aço em tracção.

#### RÉSUMÉ

Les pertes de tension ont été mesurées et calculées sur deux ponts en béton précontraint situés à Goteborg. Ces deux ouvrages ont été construits selon le système Freyssinet.

Les mesures ont été effectuées suivant deux méthodes différents :

- En tendant les câbles, à l'aide d'un vérin, à l'une de leurs extrémités et en mesurant l'effort transmis à l'autre.
- En fixant l'une des extrémités et en mesurant à l'autre la force exercée et l'extension résultante.

Cette dernière méthode donne des résultats particulièrement satisfaisants dans le cas de câbles à forte courbure et s'applique également quand seule l'une des extrémités est accessible. La combinaison de ces deux méthodes permet de contrôler la distribution de la tension le long du câble.

Les résultats de ces mesures montrent que les pertes de tension aux vérins sont de l'ordre de 6,5 à 7 % ce qui correspond à  $c = 0,93$ . Ce chiffre comprend, non seulement les pertes dues aux vérins eux-mêmes,

mais aussi celles dues à la courbure des fils dans le vérin et dans les cônes d'ancrage.

Les pertes par friction dues à la courbure du câble sont données, pour  $\mu = 0,42$ , par l'expression  $e^{-\mu x}$ .

Les pertes par friction dues à une forme ondulée accidentelle des tubes de protection des câbles sont données, pour  $k = 0,009$ , par l'expression  $e^{-kx}$ , où "x" est la longueur mesurée du câble exprimée en mètres. Une mesure antérieure [4] avait donné pour  $\mu$  des résultats semblables ou légèrement supérieurs, mais le rapport entre "c" et "k" était alors différent.

Le glissement aux ancrages était de l'ordre de 1,5 mm. et ne dépassait que rarement 3 mm.

Des mesures des déformations permanentes sont en cours dans le but de vérifier les pertes de tension correspondantes.

Le rapport comprend également quelques équations de base relatives au retrait et au fluage.

Les mesures effectuées pendant le temps relativement court qui s'est passé, ne donnent pas encore une correspondance très rigoureuse avec le calcul, ce qui peut, probablement, non seulement être attribué au partie à certaines influences secondaires telles que la forme irrégulière du pont et l'armature, mais surtout à l'influence du fluage de l'acier tendu.

## **VI b 2**

**Nouveaux types d'armature précontrainte**

**New types of prestressing cable**

**Neue Typen von Vorspannarmierungen**

**Novos tipos de armadura para betão preestratificado**

PROF. J. COURBON  
*Ingénieur en Chef des Ponts et Chaussées*  
Paris

### **A) ARMATURE SOUPLE PRÉTENDUE**

#### **I – Description de l'armature souple prétendue**

L'armature souple prétendue système CHALOS comprend trois éléments essentiels :

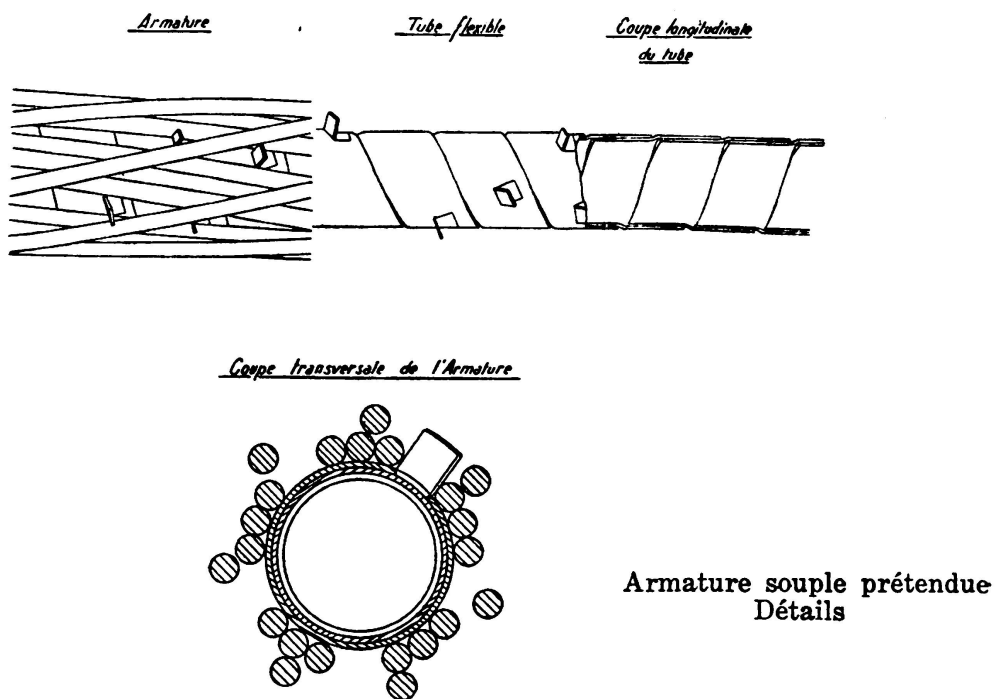
- a) un élément tendu : *la gaine*, formé de torons d'acier tréfilé enroulés en hélice sur un tube en acier flexible.
- b) un support provisoire comprimé, *l'âme*, formé de courts noyaux en acier, capable d'équilibrer la traction de la gaine.
- c) des organes de jonction aux extrémités de l'armature, les *culots*, permettant de reporter la traction de la gaine sur l'âme pendant la construction, puis sur le béton à précontraindre, après extraction de l'âme.

L'armature souple précontrainte est donc capable de conserver une tension constante et connue pendant un temps suffisamment long pour permettre son transport, sa mise en place et le bétonnage des éléments sur lesquels sera reportée sa tension après ducissement du béton.

L'armature souple présente tous les avantages des armatures tendues à l'avance sur ancrages fixes en ce qui concerne l'adhérence au béton et la connaissance précise des forces de précontrainte. Le procédé utilisé pour sa mise en tension permet d'obtenir une tension uniforme le long de l'armature connue avant emploi et susceptible même d'être modifiée avant le bétonnage. Cette uniformité de la tension n'est pas altérée par les

déformations élastiques ou permanentes que l'armature doit subir pour être disposée suivant le tracé prescrit. La robustesse de l'armature, mise en place dans les coffrages avant bétonnage, permet la pervibration dans la masse, au contact même de l'armature. Il en résulte un enrobage total de l'armature, constituant la plus sûre garantie pour sa conservation.

L'armature souple prétendue, bien que se rattachant à la classe des armatures mises en tension sur ancrages fixes avant coulage du béton, ne présente pas l'inconvénient d'immobiliser le moule pendant le durcisse-



ment du béton. Grâce au support provisoire intérieur, le matériel nécessaire à la mise en tension n'est immobilisé que quelques heures par armature. Il serait du reste difficile d'obtenir au moyen d'ancrages fixes, sans dépense excessive, des forces de précontrainte aussi importantes que celles mises en oeuvre par l'emploi simultané de plusieurs armatures souples prétendues (90 tonnes par armature).

La fabrication des armatures souples précontraintes exige des fils d'acier de haute qualité. Enfin, leur mise en oeuvre impose aux armatures des efforts de traction supérieure à ceux qu'elle supporterai en service. Cet exemple assez rare d'un essai total portant sur tous les éléments mis en service sans aucune exception, constitue une amélioration non négligeable du facteur sécurité.

## II – Description des éléments de l'armature souple prétendue

a) *Gaine*: L'élément tendu de l'armature est constitué par deux nappes de torons enroulés en hélice de sens opposé sur un tube support. Les pas et le nombre des torons de chaque nappe sont déterminés de façon que s'équilibrent les couples de torsion de chacune des nappes tendues

- 1) *Les torons:* Les torons sont formés de fils de 2 à 4 m/m de diamètre en acier tréfilé d'une résistance à la rupture de 180/200 kg/mm<sup>2</sup> et d'un allongement de rupture appréciable. La gaine toute entière est écrouie à un taux moyen de 160 kg/mm<sup>2</sup> à 170 kg/mm<sup>2</sup> environ. Cet écrouissage qui se fait progressivement, permet d'obtenir un ensemble dont les défor-

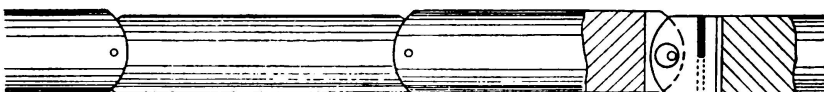
#### Armature souple prétendue Détailles

AME

Vue en plan



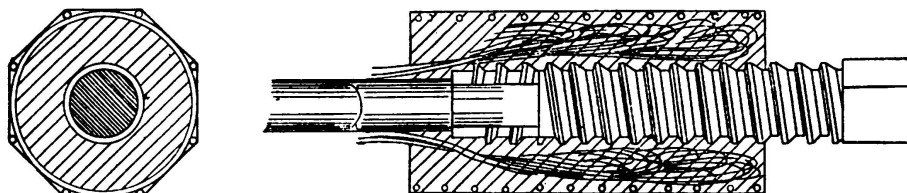
Vue de profil Ame comprimée



Vue de profil au cours d'une extraction



CULOT D'ANCRAGE



mations sont rigoureusement proportionnelles à la tension lorsque le taux de traction de l'acier varie de 0 à 160 kg/mm<sup>2</sup>.

Il est nécessaire qu'il y ait une possibilité de déformation plastique assez importante, pour permettre d'égaliser les tensions dans les différents cablots et d'aboutir à un ensemble homogène. Pratiquement, les fils employés ont un allongement à la rupture de l'ordre de 2 %.

- 2) *Tube support:* Le tube support a un diamètre intérieur de 45,6 mm. Il est flexible et étanche. Pour l'obtenir, on enroule en hélice un feuillard de 80 mm de largeur, en acier doux. Avant son enroulage, le feuillard porte des saillies ou «taquets» obtenues par poinçonnage et qui définissent les hélices d'enroulement des torons.

Les taquets sont, l'autre part, indispensables pour maintenir en place les torons, lorsque l'armature en charge est disposée suivant un tracé courbe. En effet, les taquets empêchent les torons de glisser les uns par rapport aux autres.

b) *Ame*: L'âme est l'organe qui sert à maintenir la tension de la gaine depuis la mise en tension de l'armature jusqu'au moment de mise en précontrainte du béton.

Elle est formée d'une chaîne d'éléments cylindriques en acier dur trempé de 44 mm de diamètre et de 160 mm de longueur. Chaque élément est terminé par deux surfaces cylindriques de 30 mm de rayon. Ces surfaces sont convexes pour un élément (élément mâle) et concaves pour l'élément suivant (élément femelle).

Dans l'armature en charge, les éléments s'appuient les uns sur les autres et chacun d'eux peut éprouver un déplacement angulaire par rapport à un élément voisin en glissant sur la surface d'appui.

Les éléments de l'âme ont un diamètre inférieur au diamètre intérieur du tube. Ce jeu est nécessaire pour une introduction et une extraction faciles. Ce jeu ne nuit en rien à la stabilité de l'armature en charge, ni à sa stabilité pendant les manipulations.

c) *Organes de jonction*: Les organes de jonction aux extrémités de l'armature ont un rôle double: reporter sur l'âme la traction des câbles de la gaine pendant la période de la mise en tension de l'armature à la précontrainte du béton, et ensuite reporter sur le béton durci la tension de la gaine au cas où, pour une raison quelconque, l'adhérence des torons de la gaine au béton à précontraindre ferait défaut.

Les organes de jonction sont des prismes en béton fretté de 0,50 m de longueur et dont la section transversale est un octogone inscrit dans un cercle de 0,21 m de diamètre. Les fils des torons de la gaine sont ancrés dans ce béton qui fait office de culot d'ancrage.

Au moment de la mise en tension de l'armature, la tension des cablots est reportée sur l'âme par un tirefond en acier vissé dans le béton du culot d'ancrage. L'empreinte du tirefond se fait au moment du bétonnage du culot. L'extrémité du tirefond étant légèrement engagée dans le tube support pour éviter toute entrée de mortier dans le tube. On retire le tirefond après prise du béton. Les blocs d'ancrage sont ainsi traversés longitudinalement par un tube d'un diamètre suffisant pour permettre l'introduction et l'extraction des éléments de l'âme.

L'extrémité du tirefond a une section carrée qui permet, soit de le visser pour le mettre en contact avec l'âme soit de le dévisser sous charge pour reporter la tension de l'armature sur le béton en déchargement l'âme.

Le pas et le tracé des filets du tirefond ont été choisis de manière à permettre un dévissage facile du tirefond sous la poussée de l'âme, sans toutefois que celui-soit reversible.

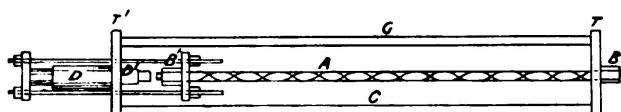
### III – *Mise en tension de l'armature*

La mise en tension de l'armature se fait dans un «banc de mise en tension» à l'aide de deux vérins: l'un servant à tendre les torons et l'autre

plus petit à exercer sur les éléments de l'âme une poussée par l'intermédiaire du tirefond du culot d'ancrage.

Le banc de mise en tension se compose essentiellement de deux poutres parallèles (INP ou ILA) entretoisées et terminées par deux traverses T et T'.

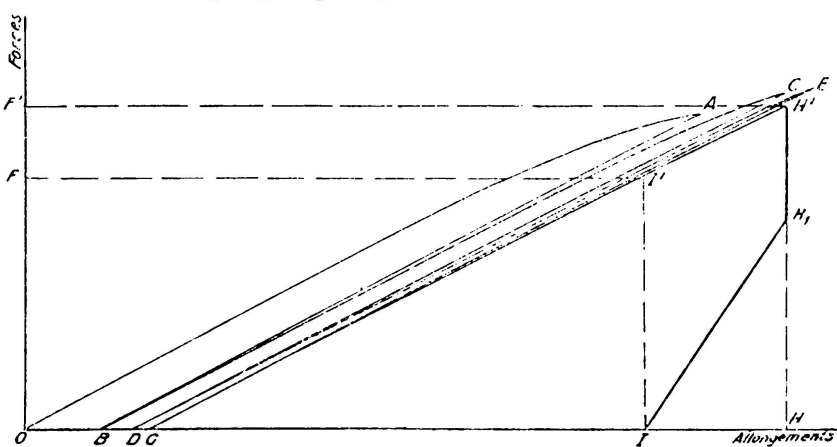
L'armature terminée avec les tirefonds vissés jusqu'au contact de l'âme est placée sur le banc de mise en tension entre les deux poutres C. L'un des culots d'ancrage C est rendu solidaire d'une traverse d'extrémité T. Le deuxième culot d'ancrage est saisi par un palonnier qui reçoit la poussée du vérin D prenant appui sur la traverse d'extrémité T' du banc à travers laquelle passe de palonnier.



Un vérin auxiliaire D' prenant appui sur l'autre face de la traverse T' permet d'exercer une poussée sur l'âme par intermédiaire du tirefond du culot d'ancrage.

Les différentes phases de l'opération sont les suivantes :

- Ecrouissage de l'armature à l'aide du vérin D. On soumet l'armature à une série d'extensions dépassant la limite élastique des aciers, suivies de décharges complètes jusqu'à ce que les allongements de l'armature et les efforts auxquels elle est soumise soient proportionnels de zéro à une valeur correspondant à une contrainte moyenne des torons de  $160 \text{ kg/mm}^2$ . Les cycles correspondants représentés sur le diagramme sont : OAB, BCD, DEG.
- L'armature étant devenue un système élastique, on tend l'armature à une tension F' intérieure au domaine élastique. L'opération se traduit sur le graphique par la droite G H'.



- A l'aide du vérin D' on exerce sur l'âme une compression Q par l'intermédiaire du tirefond qui est vissé au fur et à mesure que la poussée du vérin D' augmente. La compression de l'âme est à chaque instant très sensiblement égale à la poussée du vérin D', le vissage du tirefond ne pouvant se faire que si la différence

entre la compression et la poussée est très faible. On effectue ainsi une substitution d'appui de la tension de la gaine sans variation de cette tension, ce qui se traduit sur le graphique par la droite verticale H H'.

- d) On décharge ensuite lentement le vérin D. La tension de la gaine décroît de la valeur  $F'$  à la valeur F tandis que la compression de l'âme augmente de la valeur Q à la valeur F. C'est la partie H, I du graphique.

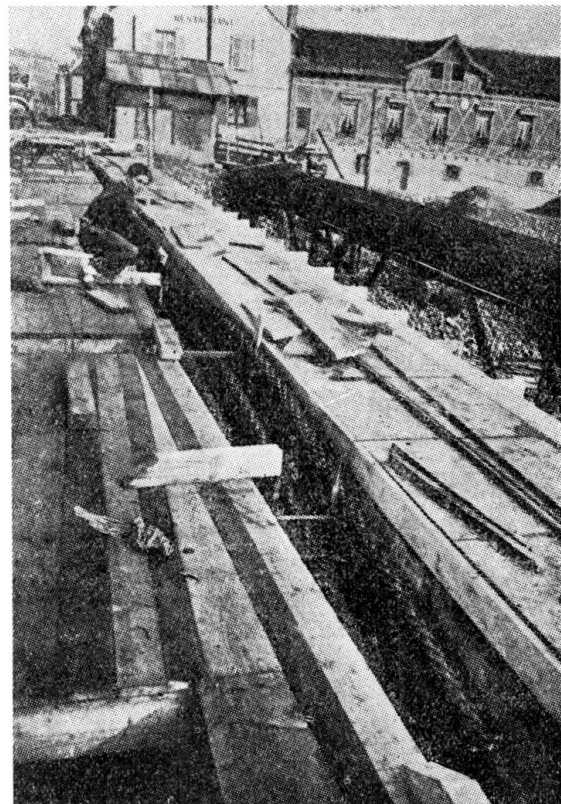
La tension finale de l'armature est donnée par l'ordonnée I I'.

#### B) OUVRAGES CONSTRUITS AVEC EMPLOI D'ARMATURE SOUPLE

##### *Pont sur la Fecht à Ingersheim (Haut-Rhin)*

Ce pont a été construit en 1950 et a permis pour la première fois, l'emploi de l'armature souple prétendue. C'est pour cette raison que les caractéristiques choisies n'ont rien d'exceptionnellement osé.

Il est constitué par deux travées continues de 24,50 m de portée. Sa hauteur constante d'une culée à d'autre est de 1,62 m. Il supporte une chaussée de 6 m et deux trottoirs de 1,50 m, de largeur.



Pont d'Ingersheim. Courbure des armatures de précontrainte sur

##### *Pont sur le Canal du Loing à la Genevraye (Seine-et-Marne)*

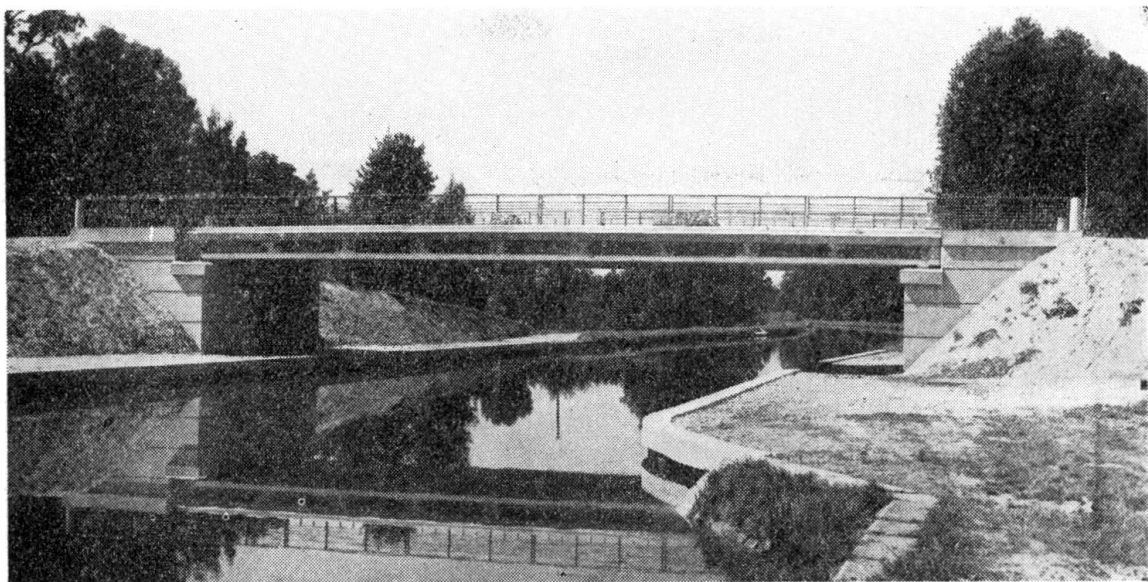
Cet ouvrage est un pont dalle de 24 m de portée dont l'épaisseur varie de 0,79 m sur les culées à 0,85 m à la clé. L'éclancement est de 1/28.

Il supporte une chaussée de 5,50 m et deux trottoirs de 1 m.

Il est précontraint dans le sens longitudinal et dans le sens transversal par des armatures souples prétendues. Les culots d'ancrage des armatures transversales sont visibles sur la photographie.

##### *Pont sur la Seine à Chartrettes (Seine-et-Marne)*

C'est un cantilever à articulation centrale dont les portées sont 29,46 m, 55,68 m et 29,46 m. Il a été construit sur les piles et culées



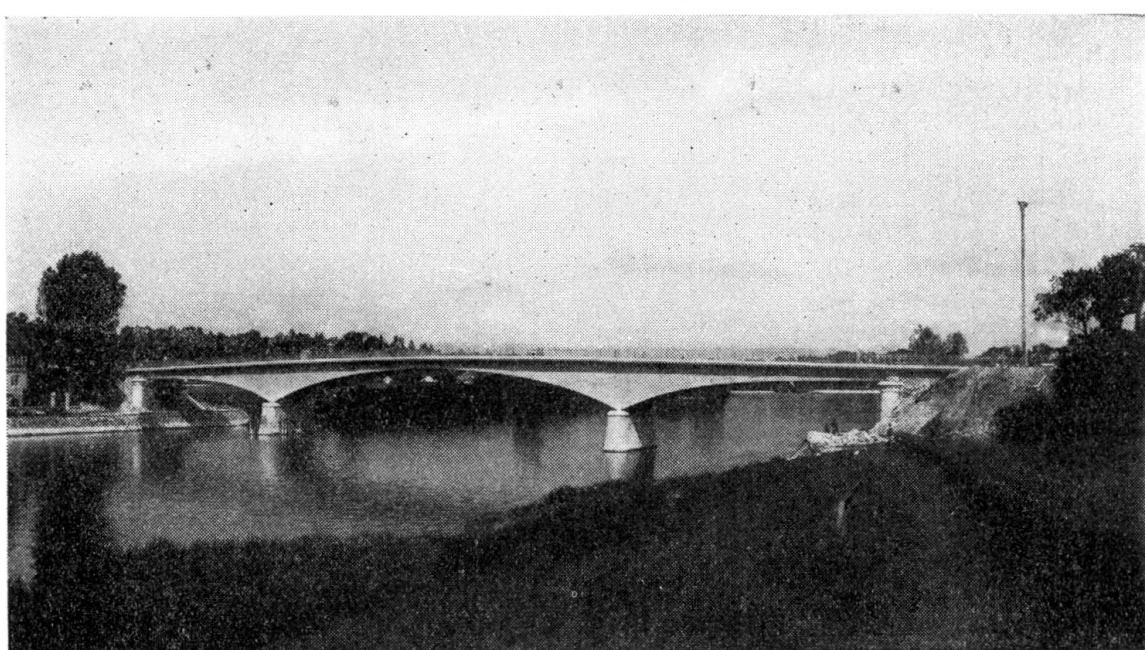
Pont de la Genevraye sur le Canal du Loing

existantes, ce qui a nécessité la construction de contrepoids aux extrémités des travées de rive.

Le tracé de l'intrados a été déterminé en fonction des gabarits de navigation imposés pendant et après la construction.

Il supporte une chaussée de 6 m et deux trottoirs de 1 m.

Les deux poutres consoles ont été construites l'une après l'autre en remployant le même cintre. Elles ont été réunies après mise en précon-



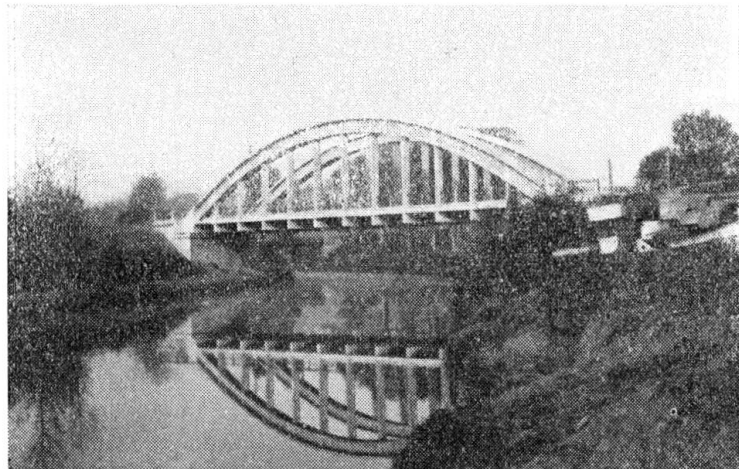
Pont de Chartrettes, sur la Seine

trainte par l'articulation centrale qui ainsi ne subit d'efforts que sous les surcharges.

*Pont sur le Canal de Nantes à Brest Redon (Ille & Vilaine)*

Cet ouvrage est un bow-string de 42,50 m de portée.

Les deux arcs sont en forme de double T dont la hauteur est de 1,30, les âmes et les ailes ayant la même épaisseur 0,25.



Pont sur le Canal de Nantes à Brest à Redon  
(Ille & Vilaine)

droit de l'arc. Les cisaillements longitudinaux dans la dalle sont ainsi réduits à une valeur extrêmement faible.

Les culées sont fondées sur le schiste à faible profondeur.

*Pont sur la Garonne à Ondes (Hte Garonne)*

L'ouvrage est constitué par cinq travées indépendantes de 39,20 m de portée, la hauteur des poutres est de 2,35. La dalle sous chaussée et trottoirs est supportée par 4 poutres longitudinales réunies par sept entretoises est précontraintes chacune par six armatures souples.

Les piles et culées sont fondées sur des caissons descendus par havage sur le tuf dur. Les caissons des culées sont en béton armé. Les caissons des piles sont à double paroi métallique.



Pont d'Ondes sur la Garonne

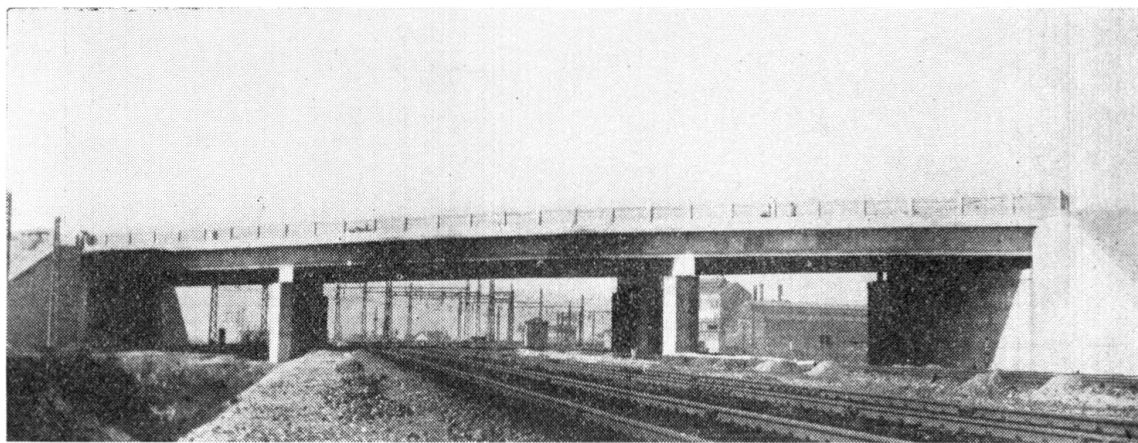
ques. Ils ont été mis en place au blondin et lestés par du béton coulé entre les deux parois.

L'ouvrage a été construit sur cintre en bois à l'avancement.

*Pont sur le Boulevard de Ceinture à St Fons — Lyon (Rhône)*

L'ouvrage comprend trois travées continues dont les portées biaises sont 23,80 – 36,50 – 23,80. La largeur totale de l'ouvrage est de 25,50 m. Il est coupé dans le sens longitudinal par un joint placé dans l'axe de l'ouvrage. L'angle du biais est de 42° 35'.

Chaque moitié supporte une chaussée de 8 m, un trottoir extérieur de 2,75 m et un trottoir central de 2 m. L'ouvrage est du type caisson,



Pont sur le Boulevard de Ceinture à St Fons — Lyon (Rhône)

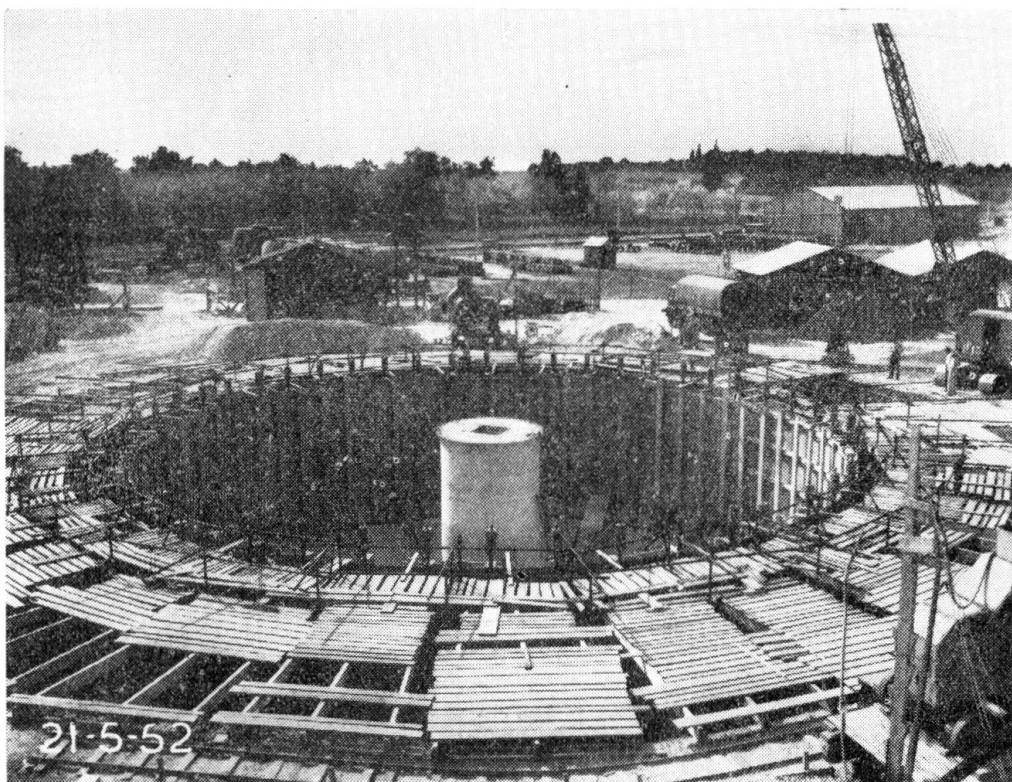
la dalle supérieure ayant une épaisseur de 0,18 m et la dalle inférieure une épaisseur de 0,07 m. Les deux dalles sont réunies par six poutres longitudinales précontraintes chacune par six armatures souples en travée de rive. Des entretoises espacées de 6 m environ réunissent les poutres transversalement. Elles sont armées par des aciers doux ordinaires.

Par suite du biais, l'ouvrage n'a qu'un seul point fixe, les autres appuis ayant des articulations sphériques.

*Réservoir à hydrocarbures (Maître de l'oeuvre Marine Nationale)*

C'est un réservoir de 2 700 m<sup>3</sup> pour hydrocarbure de forme torique. La paroi cylindrique extérieure est précontrainte par des armatures verticales et horizontales en forme de demi-cercle. La partie supérieure et la partie inférieure sont des calottes toriques qui s'appuient sur un pilier central et la paroi cylindrique extérieure.

Ce réservoir a subi avec succès les essais d'étanchéité à l'eau et aux hydrocarbures avec suppression de 400 g/cm<sup>2</sup> et dépression de 20 g/cm<sup>2</sup>. Il est actuellement en service.

Réservoir à hydrocarbures de 2700 m<sup>3</sup>

### C) NOUVELLE ARMATURE DE PRECONTRAINTE

La SOCIETE DES GRANDS TRAVAUX DE MARSEILLE a mis au point un nouveau type d'armature de précontrainte mise en tension sur le béton durci.

Ces armatures sont constituées par des torons d'acier tréfilé dur maintenus en tension par des ancrages métalliques d'un type breveté.

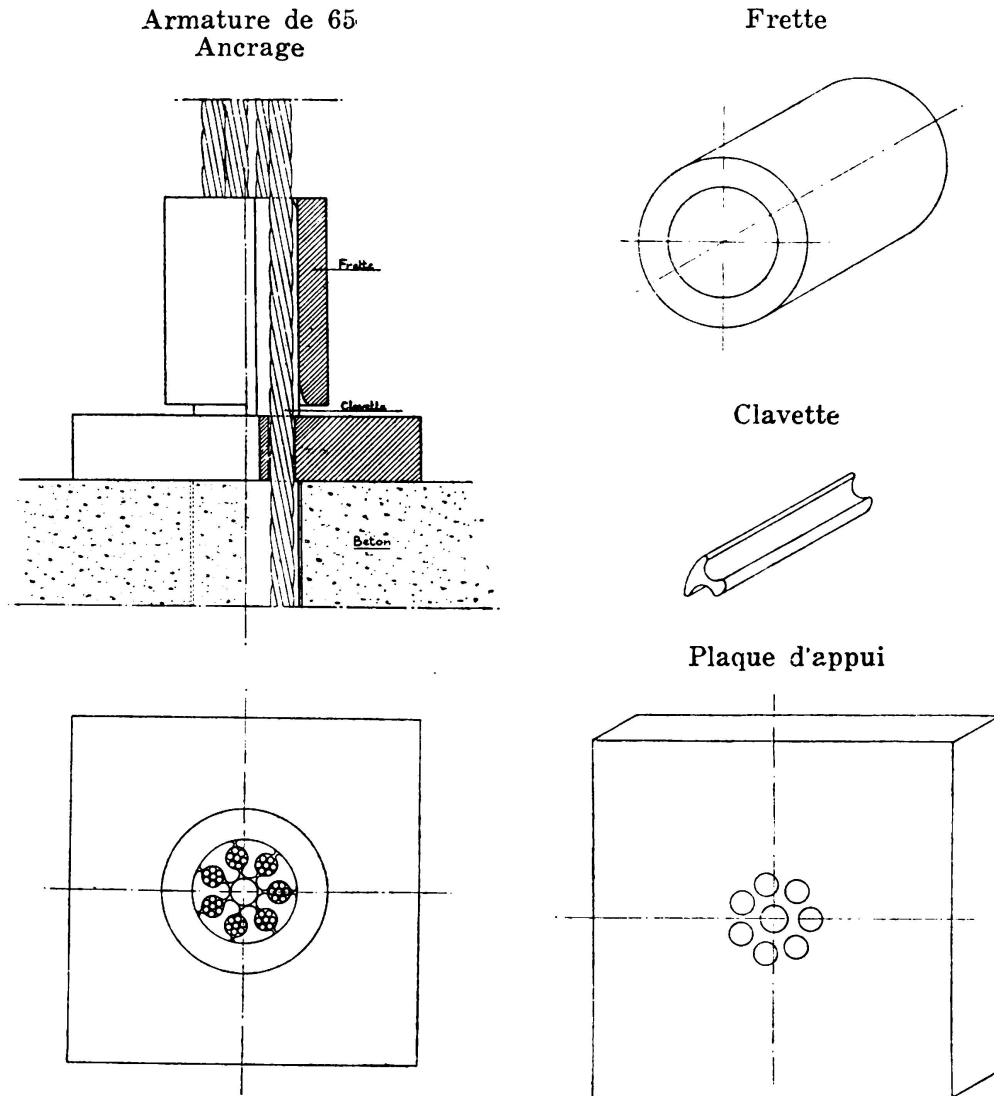
#### *Acier de précontrainte*

Les armatures sont constituées par un certain nombre de torons de 7 fils, dont le diamètre peut varier de 3 à 3,6 mm. Le nombre de torons est déterminé par la force que l'on désire obtenir. Les deux types principaux d'armatures comprennent 4 et 7 torons. Une armature de 4 torons de 7 fils de 3,6 permet une tension initiale de 35 t. Une armature de 7 torons de 7 fils de 3,6 permet une tension initiale de 65 t.

Dans les deux cas, ces torons sont câblés ensemble de façon à obtenir un ensemble n'ayant aucune tendance à un écrasement. Le câble obtenu présente cependant une très grande souplesse et permet les tracés les plus sinueux. L'acier employé pour les torons est de l'acier tréfilé de la nuance 160/180 ou même 180/200.

*Ancrages de l'armature (voir dessin)*

L'ancrage est un organe métallique constitué par une frette cylindrique maintenant des clavettes en acier mi-dur serrées sur les torons. A la mise en tension, les clavettes sont matricées sur les torons par la frette cylindrique extérieure. Les clavettes reportent la tension des fils



sur le béton par appui sur une plaque d'acier permettant la répartition des pressions sur une surface suffisante.

Les clavettes, dont le nombre pour un ancrage donné est égal au nombre des torons, sont profilées suivant une surface cylindrique d'un diamètre légèrement inférieur à celui des torons et pour la face extérieure suivant une surface cylindrique également.

La frette est un cylindre creux dont la partie inférieure présente un évasement torique permettant l'introduction des clavettes. Elle est enfoncée à force et exerce alors un serrage suffisant pour entraîner une pénétration des fils torons dans le métal des clavettes.

### *Mise en tension de l'armature*

L'armature est mise en tension par traction à ses extrémités au moyen de vérins annulaires à deux corps opposés. Les torons de l'armature sont enfilés dans le tube intérieur du vérin et ancrés à la partie arrière du vérin par un ancrage provisoire.

La mise en tension s'effectue en prenant appui sur le béton durci à précontrainte. Le corps arrière du vérin tend les câbles tenus dans l'ancrage provisoire. Après écrouissage et tension à la valeur désirée, la frette est enfoncee sur les clavettes qui occupent déjà leur fonction définitive par le corps avant du vérin. A l'écrouissage, la tension des torons est portée à  $150 \text{ kg/mm}^2$ , après plusieurs montées à des valeurs inférieures et descente complète. Ces opérations ont pour but d'égaliser des tensions entre les différents torons de l'armature. Après avoir été maintenue pendant quelques minutes à  $150 \text{ kg/mm}^2$  environ, la tension est ramenée à la valeur désirée.

Après mise en tension, on injecte un coulis de ciment dans la gaine occupée par l'armature, par l'intermédiaire d'un orifice transversant l'organe d'ancrage.

### *Qualités de l'armature*

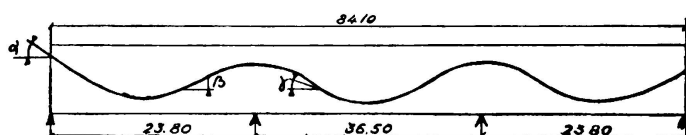
En dehors de ses qualités de robustesse, de facilité d'emploi et d'économie, l'armature présente trois caractéristiques essentielles :

- Absence totale de glissement de l'armature dans son ancrage au moment de la mise en tension ;
- Coefficient de frottement très faible (inférieur à 0,08) ;
- Possibilité de mise en précontrainte par tronçons en laissant aux câbles la longueur nécessaire pour la mise en précontrainte définitive.

On peut montrer l'absence de glissement de l'armature dans son ancrage au moment de la mise en tension de la manière suivante : la frette cylindrique extérieure est bloquée sur les clavettes par le corps avant du vérin. Si on place entre la frette et le vérin une plaque d'un diamètre légèrement inférieur au câble de précontrainte, le câble est éraflé en surface par cette plaque et on mettrait en évidence s'il existait le déplacement relatif des fils et des clavettes.

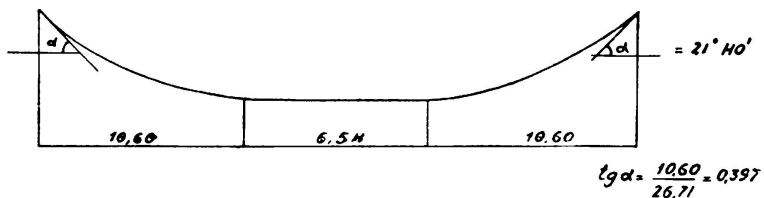
Diverses expériences ont été faites pour déterminer la valeur du coefficient de frottement. On s'est servi pour ces expériences du tube support d'armature souple prétendue décrit par ailleurs. Ces armatures avaient été utilisées pour la précontrainte d'ouvrages d'art. Les expériences ont été faites avant l'injection de ces armatures.

La première expérience a eu lieu au pont de St Fons, ouvrage à trois travées continues. Le tracé de l'armature était le suivant :



Longueur totale ... ... ... ... ... ... ... ... ... ... ...	84,10 m
Somme des angles en valeur absolue ... ... ... ... ...	93° 44'
Rapport moyen des tension entre les manomètres placés à chaque extrémité après correction ... ... ... ...	0,93
Valeur du coefficient de frottement ... ... ... ...	0,045

La seconde expérience a eu lieu au Pont d'Ondes, sur la Garonne. Le tracé de l'armature était le suivant:



Longueur totale ... ... ... ... ... ... ... ... ... ...	27,74 m
Somme des angles en valeur absolue ... ... ... ...	43° 20'
Rapport moyen des tensions entre les manomètres placés à chaque extrémité après correction ... ... ... ...	0,94
Valeur du coefficient de frottement ... ... ... ...	0,08

La valeur très faible de ce coefficient est due en grande partie à la conception même de l'armature. L'emploi de torons câblés formant un ensemble robuste facilite un glissement l'armature n'étant en contact avec la gaine que par points. L'ensemble des torons n'a pas tendance à s'écraser dans les parties courbes.

La troisième qualité de cette armature est la possibilité qu'elle procure de mettre en précontrainte un élément par tronçons pouvant servir à l'assembler sur un autre tronçon. Il suffit pour cela de laisser au câble une longueur suffisante, au-delà de l'ancre provisoire sur le vérin. On voit toutes les ressources que procure cette possibilité pour la préfabrication.

Enfin, employée simultanément avec l'armature souple prétendue, elle permet d'obtenir des unités de l'ordre de 150 t dans un espace très réduit et d'une manière très économique, le tube support de l'armature souple procurant une gaine gratuite à cette nouvelle armature.

#### RÉSUMÉ

La «Société des Grands Travaux de Marseille» a mis au point deux systèmes d'armature de précontrainte.

L'armature souple prétendue (système «chalos») qui comprend trois éléments essentiels :

- un élément tendu, la gaine, formé de torons d'acier tréfilé, enroulés sur un tube,
- un support provisoire comprimé, l'âme, formé de courts noyaux d'acier,
- des organes de jonction aux extrémités, les culots.

Les avantages sont: l'adhérence parfaite au béton, la connaissance précise des forces de précontrainte, l'uniformité de la tension le long de l'armature qui est conservée quelles que soient les déformations imposées à l'armature pour obtenir la tracé prescrit.

La fabrication et la mise en place des armatures ne fait appel qu'à un matériel simple et immobilisé peu de temps.

De nombreux ouvrages construits avec ce type d'armature sont en service et donnent entière satisfaction.

Un second type d'armature de précontrainte qu'on met en tension en prenant appui sur le béton à précontraindre est constitué par des torons d'acier tréfilé, ancrés par matriçage de clavettes à l'intérieur d'une frette cylindrique.

Les qualités sont notamment:

- l'absence totale de glissement de l'armature dans son ancrage au moment de la mise en tension,
- un coefficient de frottement très faible (inférieur à 0,08).

Ces deux types d'armatures peuvent être utilisés simultanément, le tube de l'armature souple procurant une gaîne gratuite à la seconde.

#### S U M M A R Y

The «Société des Grands Travaux de Marseille» has devised two new types of prestressing cables.

One of them is the «pre-tensioned flexible reinforcement» with three basic components:

- a stretched element or «sheath», composed of wiredrawn steel strands twisted around a tube,
- a temporary compressed support or «core» composed of short steel stubs,
- end anchorages.

It insures an excellent steel-concrete bond, an exact knowledge of prestressing forces and a uniform tension along the cable, whatever its shape in the structure.

Manufacturing and installation requires only a simple equipment in use for a short time.

There are many structures in service built by this process, their behaviour being very satisfactory.

The other type of reinforcement, which is prestressed by using the concrete as a support, is composed of wiredrawn steel strands, anchored by steel keys in a cylindrical end-piece.

It is completely slip-proof at the anchorage at prestressing and its friction coefficient is extremely low, inferior to 0,08).

Both types of reinforcement can be used simultaneously, the tube of the flexible cable then becoming a sheath for the second.

### ZUSAMMENFASSUNG

Die Société des Grands Travaux de Marseille hat zwei Systeme von Vorspannarmierungen herausgebracht.

Die biegsame Armierung mit vorausgehender Vorspannung, die aus drei Hauptteilen besteht:

- ein gespannter Teil, ein «Kabel», bestehend aus Litzen von gezogenem Stahldraht, die auf einer Röhre aufgewickelt sind,
- eine Stahl-Kern als vorübergehende, gedrückte Abstützung aus kurzen Stücken,
- die Verbindungsteile an den Enden, die Anker.

Die Vorteile sind die folgenden: die vollkommene Haftung mit dem Beton, die genaue Kenntnis der Vorspannkräfte, die Gleichförmigkeit der Spannung längs der Armierung, die unabhängig von all den für die vorgeschriebene Linienführung der Armierung auferlegten Abbiegungen, erhalten bleibt.

Die Herstellung und Montage der Armierung verlangt nur einfache, Kurzfristig verwendete Hilfsmittel.

Zahlreiche Bauwerke mit diesem Vorspannsystem stehen heute zur vollen Zufriedenheit im Gebrauch.

Ein zweiter Typ einer Vorspannarmierung, die unter Abstützung gegen den vorzuspannenden Beton gespannt wird, besteht aus gezogenen Stahldraht-Litzen, die mit Keilen im Innern eines zylindrischen Stahlrings verankert werden.

Die Merkmale sind im besondern:

- das vollständige Fehlen eines Gleitens der Armierung in der Verankerung im Zielpunkt der Vorspannung.
- ein sehr kleiner Reibungskoeffizient (kleiner als 0,08).

Diese zwei Armierungstypen können auch gemeinsam verwendet werden, indem das Rohr der biegsamen Armierung als Hülle für die zweite dient.

### R E S U M O

A «Société des Grands Travaux de Marseille» elaborou dois novos tipos de armaduras para betão preefornçado.

Pode citar-se em primeiro lugar a «armadura flexível em pré-tensão» que compreende três elementos essenciais:

- um elemento em tensão, ou «bainha», formado por fios de aço trefilados enrolados em torno de um tubo,

- um suporte provisório comprimido ou «alma» formada por curtos cilindros de aço,
- órgãos de união nas extremidades ou ancoragens.

Este tipo de armadura permite garantir uma aderência perfeita com o betão, o conhecimento exacto das forças de pré-tensão e a uniformidade da tensão ao longo do cabo, que se mantém sejam quais forem as deformações impostas à armadura para seguir o traçado prescrito.

A fabricação e a colocação das armaduras exigem apenas um material simples e imobilizado durante tempo.

Numerosas obras construídas por este processo estão já em serviço, e o seu comportamento tem sido satisfatório.

O outro tipo de armadura, que é preesforçada tomando apoio sobre o betão, é constituído por fios de aço trefilados, fixados por chavetas num cilindro fretado.

Este tipo de armadura garante uma ausência total de escorregamento na ancoragem quando é posta em tensão e um coeficiente de atrito muito baixo (inferior a 0,08).

Os dois tipos de armadura podem empregar-se simultâneamente, formando o tubo da armadura flexível bainha para o segundo tipo.